



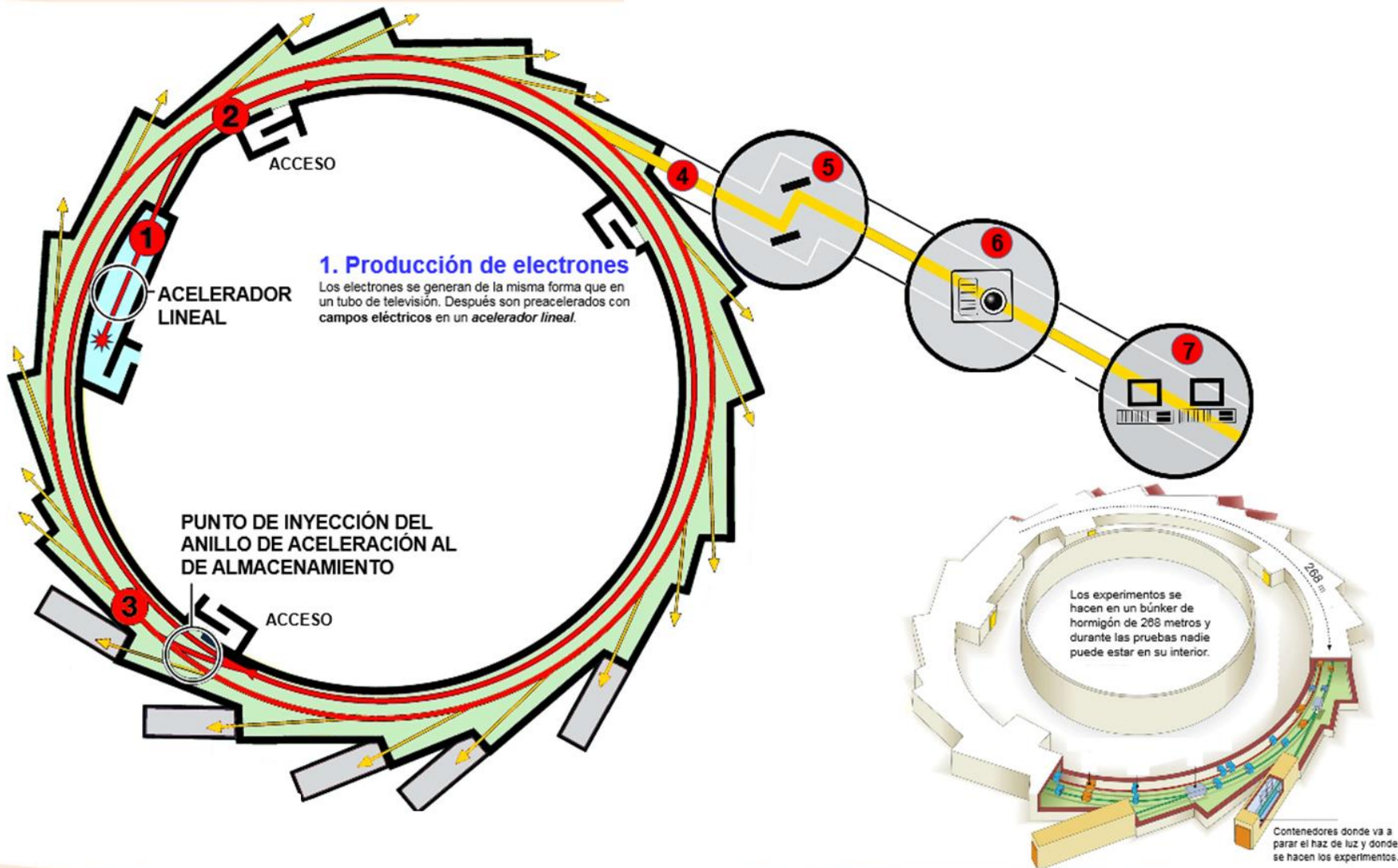
# APLICACIONES BIOMÉDICAS DE LA LLUM DE SINCROTRÓ

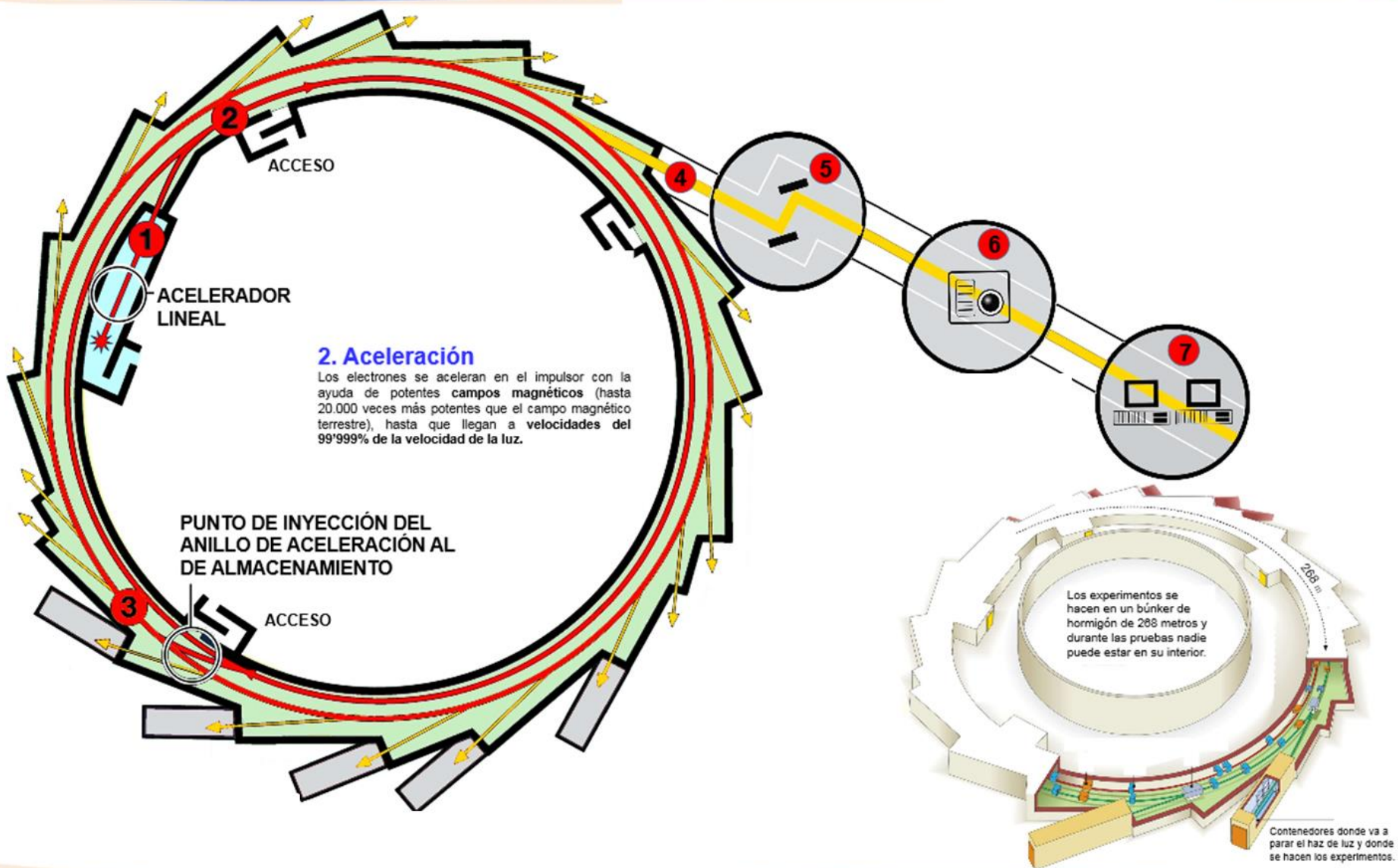
Núria Benseny Cases

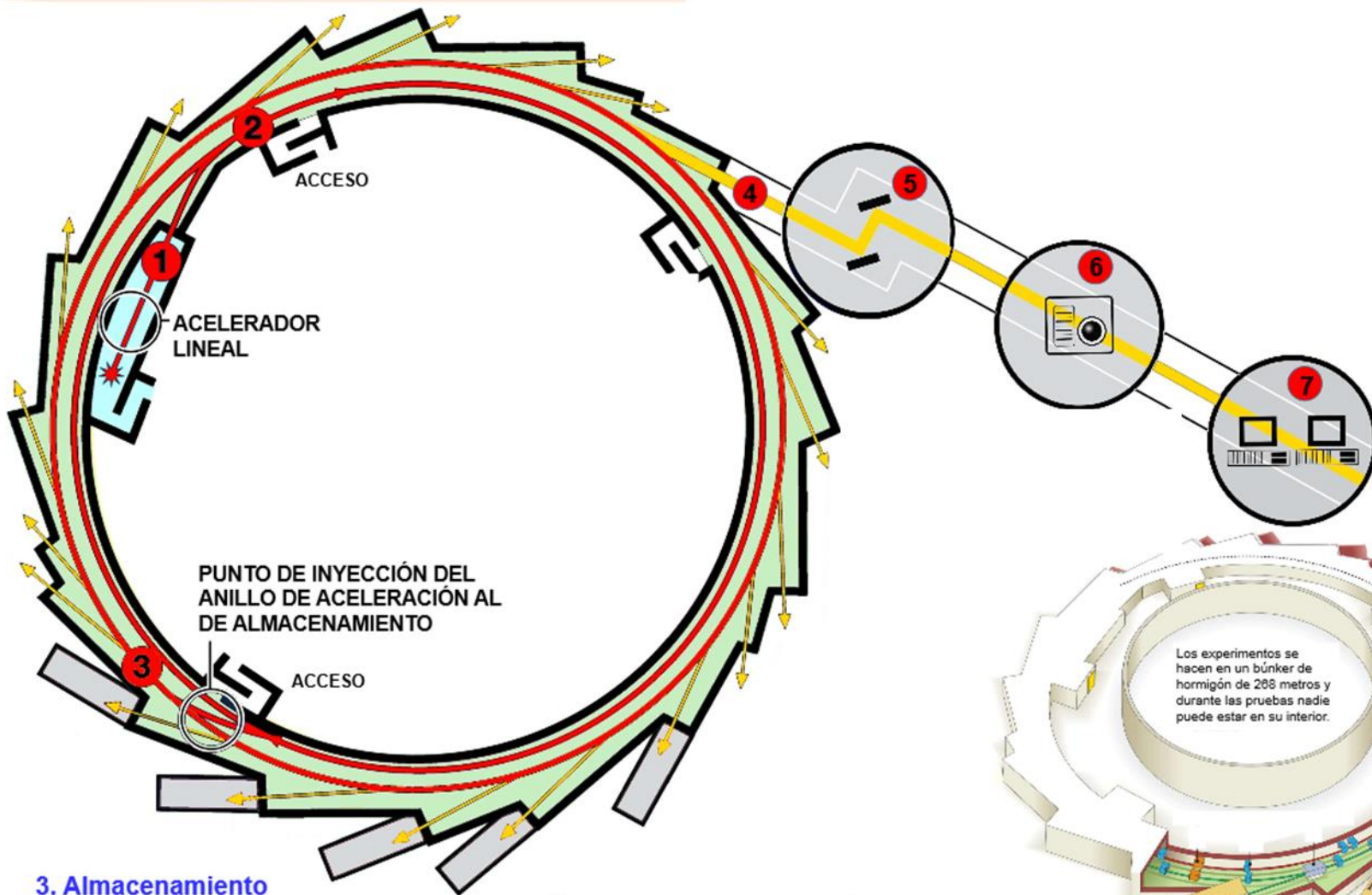
Postodoc at Infrared Beamline (MIRAS)

ALBA Synchrotron

1. Com funciona un sincrotró
2. MIRAS: Microscopia d'Infraroig
  1. Microscopia d'Infraroig
  2. Estudis d'Infraroig en la malaltia d'Alzheimer
  3. Altres Exemples
3. MISTRAL: Tomografia de rajos X
4. CLAES: Absorció de rajos X
5. NCD I Xaloc: Difracció de Rajos X
6. Demanar beamtime

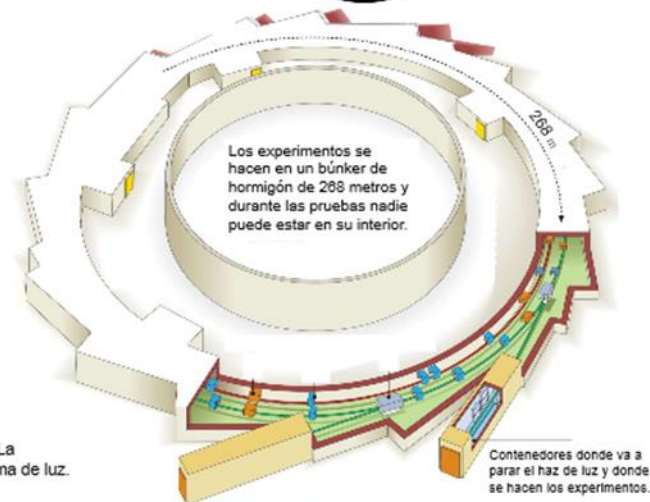


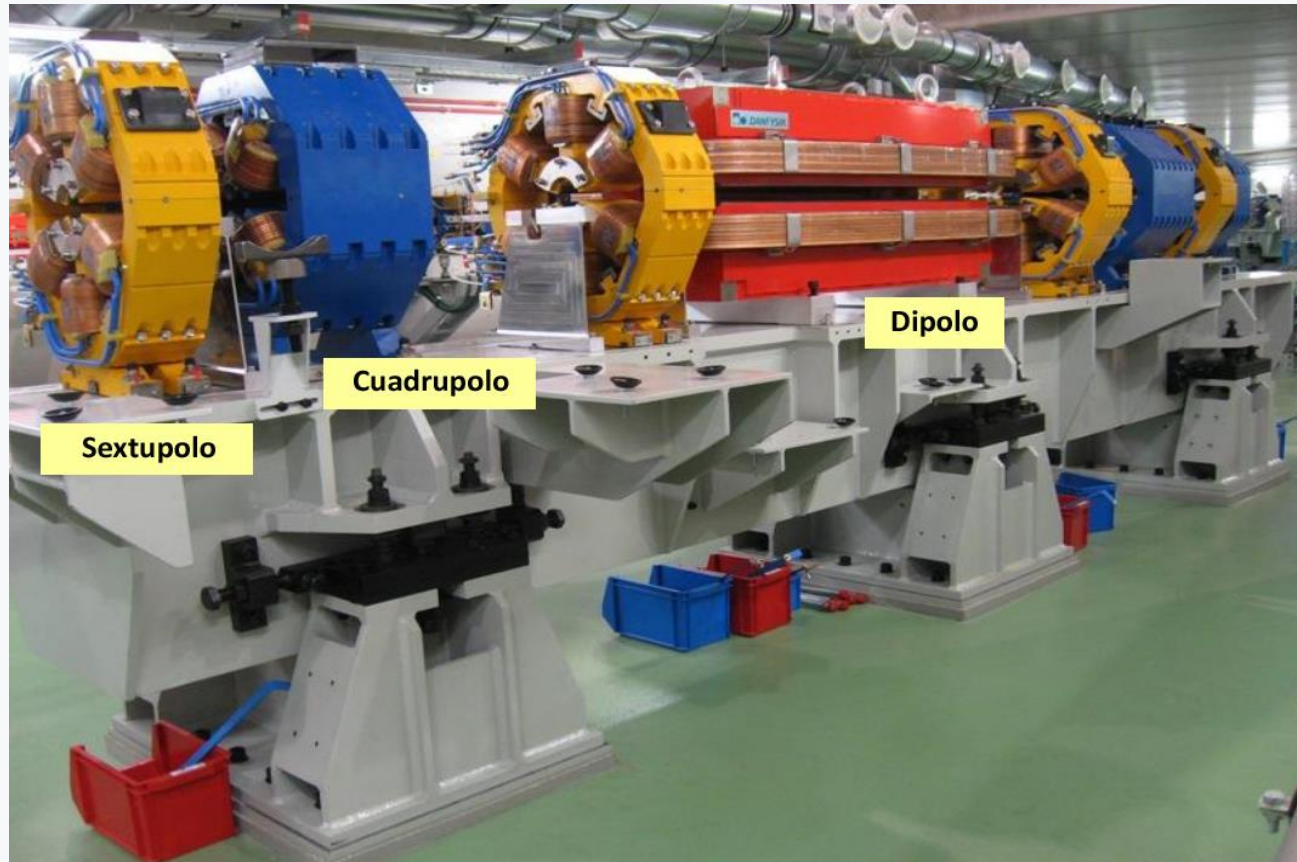


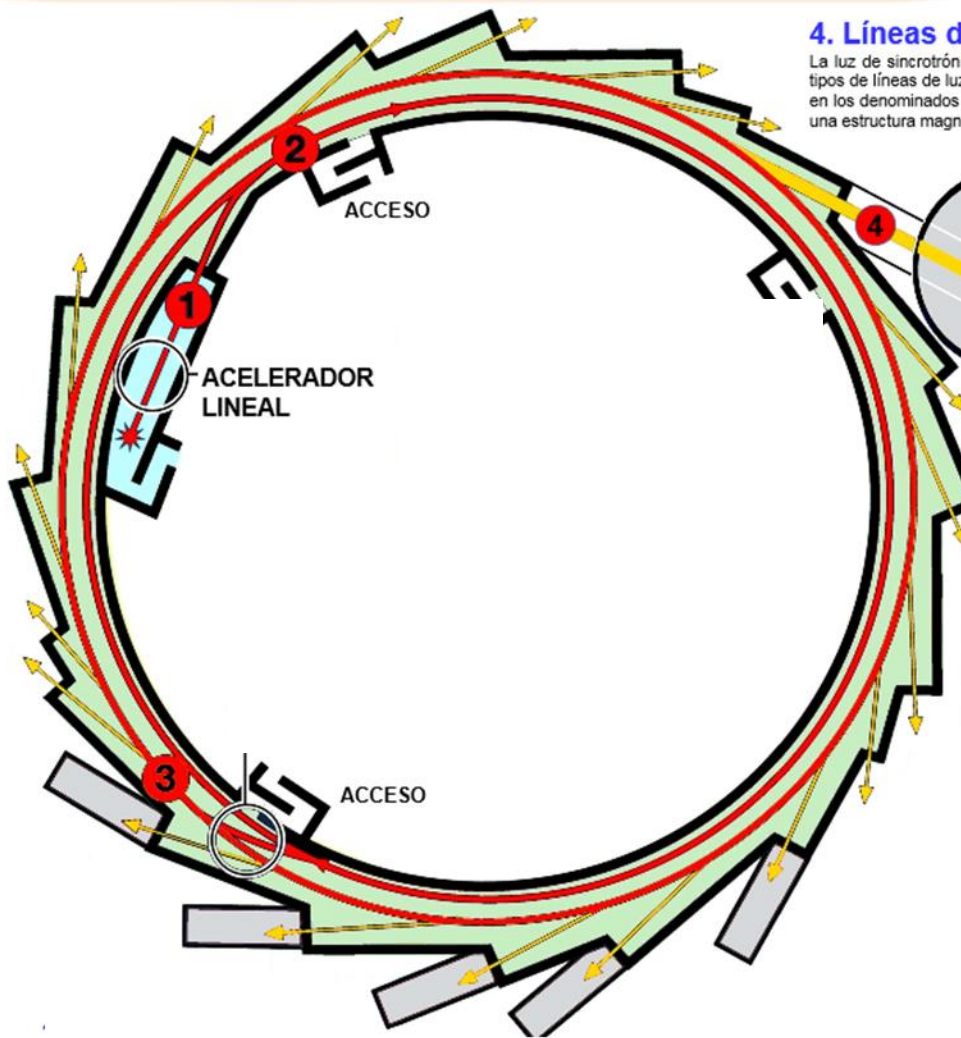


### 3. Almacenamiento

Los electrones se inyectan en el anillo de almacenamiento, donde mantienen una **órbita circular** canalizados por **campos magnéticos** muy fuertes. La velocidad se mantiene constante con **campos eléctricos** alimentados por **radiofrecuencia**, compensando la energía que se pierde al emitirse en forma de luz.







#### 4. Líneas de luz

La luz de sincrotrón se propaga hasta las *líneas de luz*, colocadas tangencialmente al acelerador. Hay dos tipos de líneas de luz, según si usan los rayos X generados en los **imanes curvadores**, o bien los generados en los denominados **dispositivos de inserción**, que hacen ondular la trayectoria de los electrones mediante una estructura magnética periódica.

#### 5. Acondicionamiento

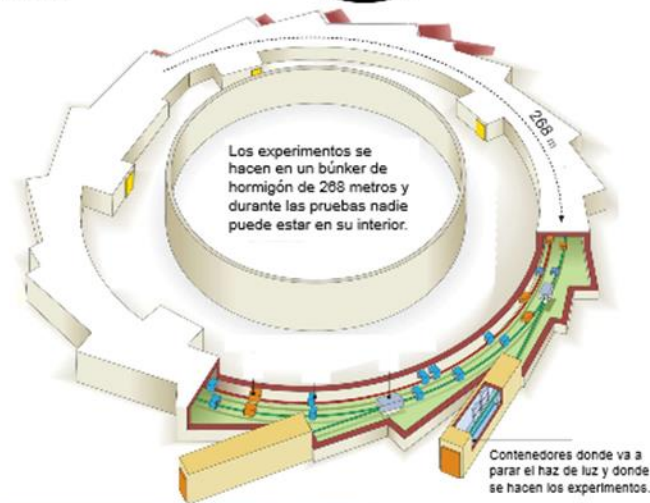
La luz emitida pasa por una cabina óptica, donde se **selecciona** una determinada energía o **longitud de onda** con un **monocromador**. Los fotones de luz de sincrotrón se **enfocan** y se canalizan hacia la muestra usando **espejos de rayos X**.

#### 7. Análisis de datos

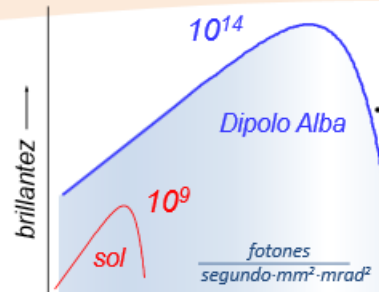
En la cabina de control, las **computadoras** controlan todo el proceso de medición, y recogen los datos medidos por los detectores. Los datos son extraídos, procesados y preparados para el **análisis e interpretación** de los científicos responsables de los experimentos.

#### 6. Detección

En la cabina experimental, se coloca la muestra y un sistema de detección **recoge la luz reflejada, difractada o transmitida**. Hay muchos tipos de detectores, que están especializados para cada tipo particular de experimento.



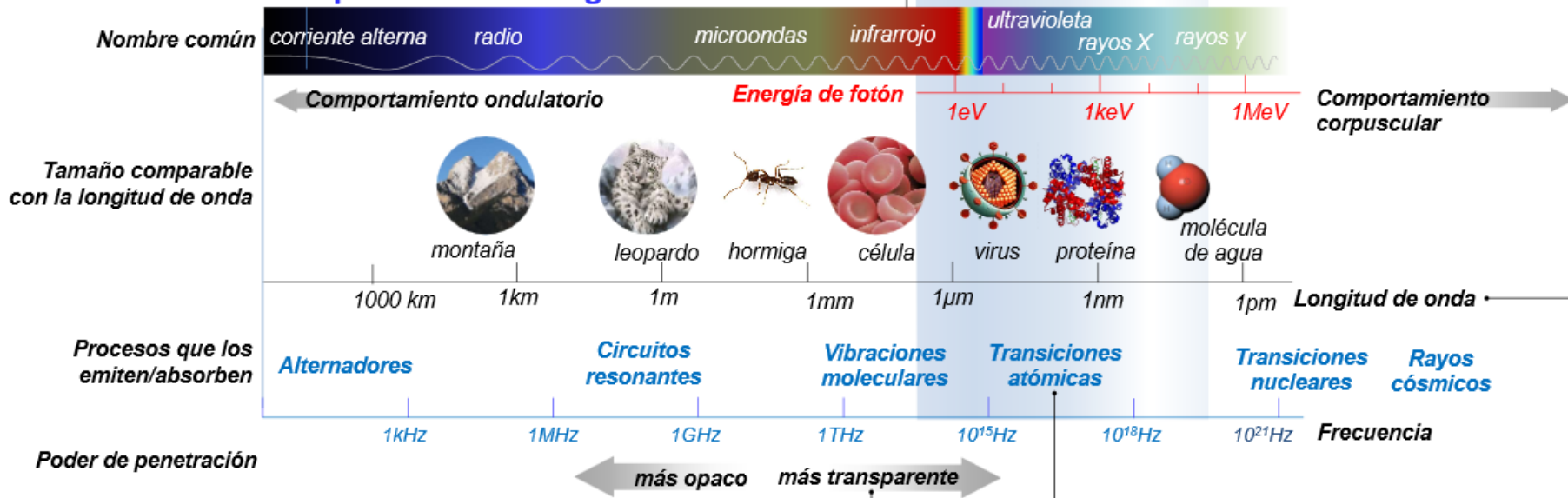
Los **rayos X** son **ondas electromagnéticas**, como la luz visible, aunque tienen **longitud de onda** mucho más **corta**, o sea, una **frecuencia** más **alta** y **más energía** por cada fotón. Sus propiedades les hacen muy útiles para **estudiar la materia**.



### Brillantez

Los rayos X interactúan débilmente con la materia. Así que los experimentos requieren muchos fotones.

## El espectro electromagnético



### Poder de penetración

Los rayos X interactúan débilmente con la materia. Lo hacen principalmente cuando están en resonancia con alguna transición atómica. El resto de elementos son transparentes. Esto permite **observar el interior** de los objetos.

### Transiciones atómicas

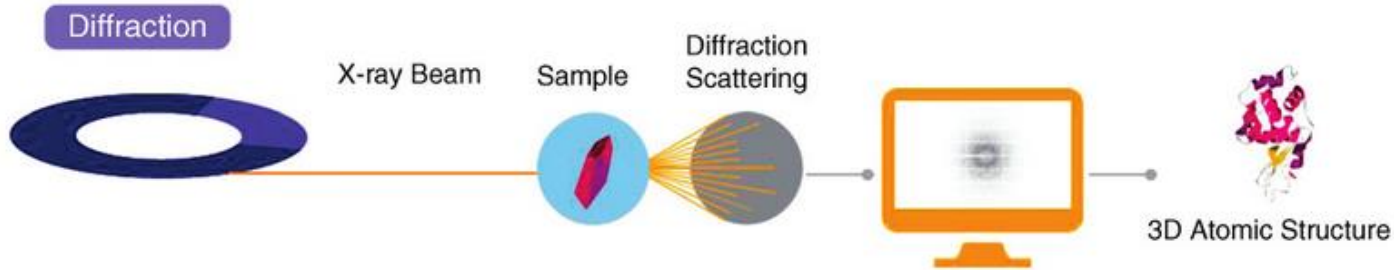
La energía de los fotones de rayos X corresponde a las transiciones de los electrones entre los niveles atómicos, para la mayoría de materiales sólidos. Estos niveles determinan las **propiedades físicas y químicas** de los materiales, que se pueden estudiar con experimentos de **espectroscopia**.

### Longitud de onda muy corta

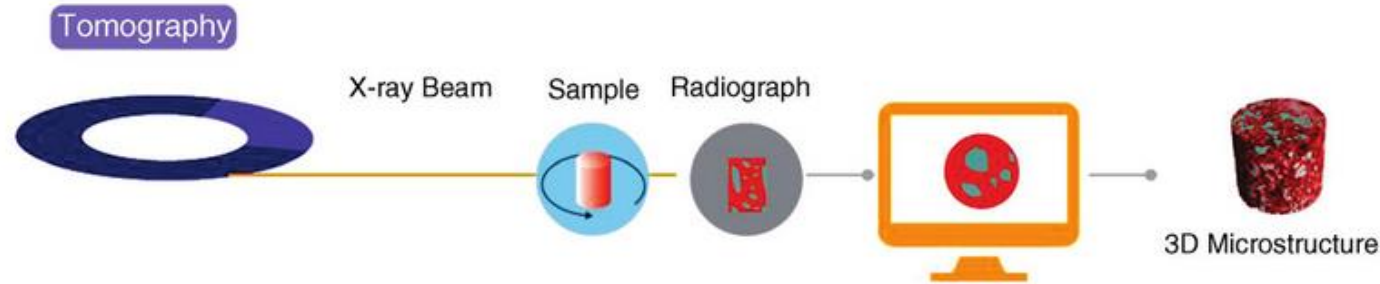
La longitud de onda de los rayos X es comparable al tamaño de los átomos. La cual cosa permite observar su estructura mediante experimentos de **difracción**.



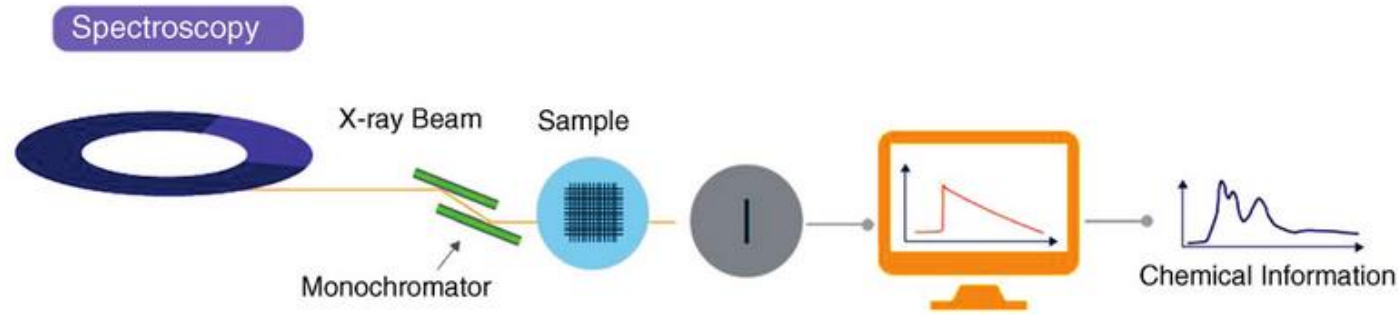
# Interacció de la llum amb la matèria



XALOC: Línia de cristallografia  
NCD: Difracció no cristal·lina



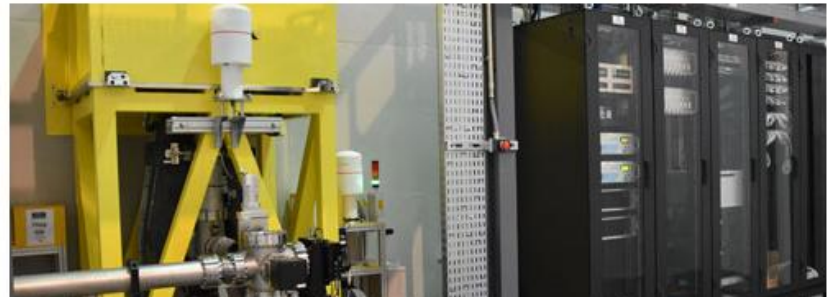
MISTRAL:  
Tomografia de rajos X



CLAES:  
Espectroscopia d'absorció de rajos X  
MIRAS:  
Microscòpia d'IR

# MIRAS

one of the stations of the beamline.



BEAMLINE TEL.: (+34) 93 592 4001

## BEAMLINE SCIENTISTS

### Ibraheem Yousef

Scientist Responsible

Tel.: (+34) 93 592 4085

[E-mail](#)

### Martin Kreuzer

Beamline Scientist

Tel.: (+34) 93 592 4518

[E-mail](#)

### Tanja Ducic

Beamline Scientist

Tel.: (+34) 93 592 4042

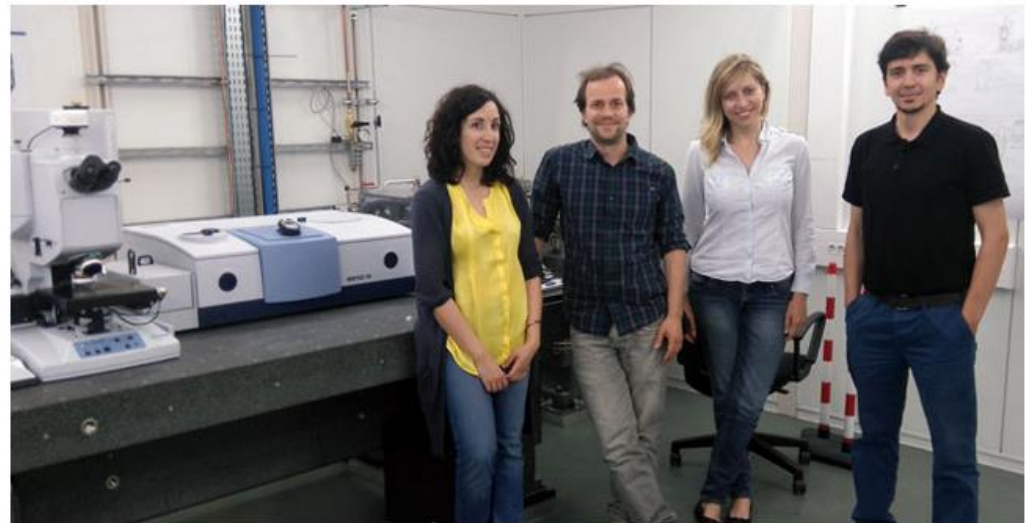
[E-mail](#)

### Núria Benseny

Post-doc Research Associate

Tel.: (+34) 93 592 4421

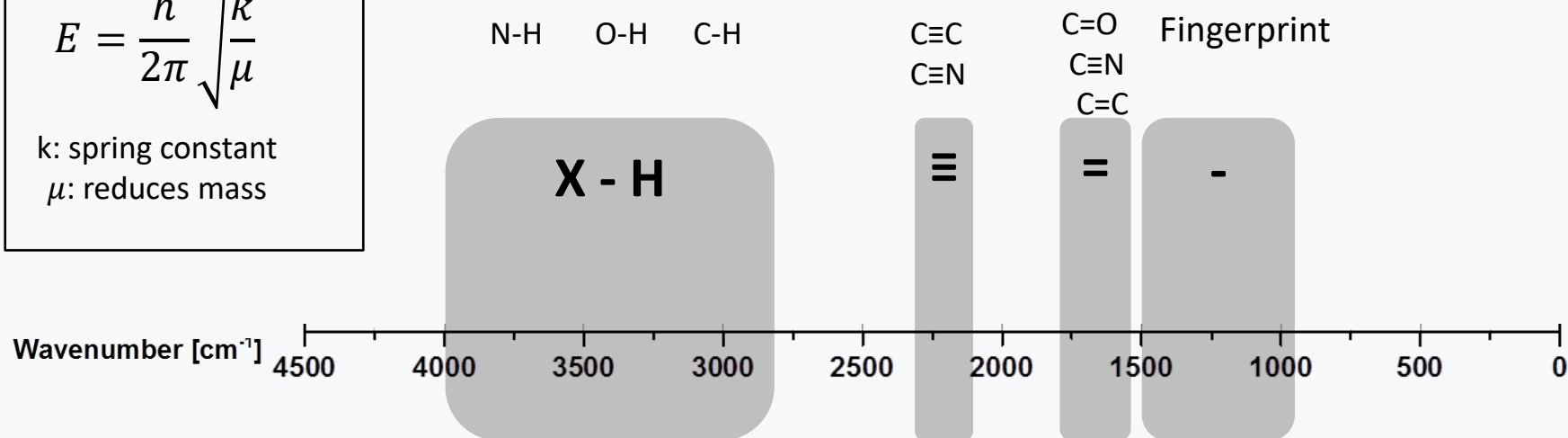
[E-mail](#)



# Chemical bonds – *springs & mass*

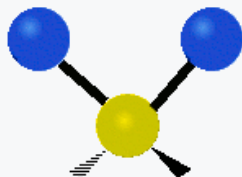
$$E = \frac{h}{2\pi} \sqrt{\frac{k}{\mu}}$$

k: spring constant  
 $\mu$ : reduces mass

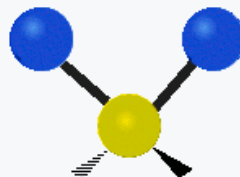


Vibrational modes:

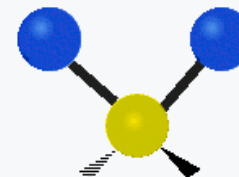
Symmetric stretching



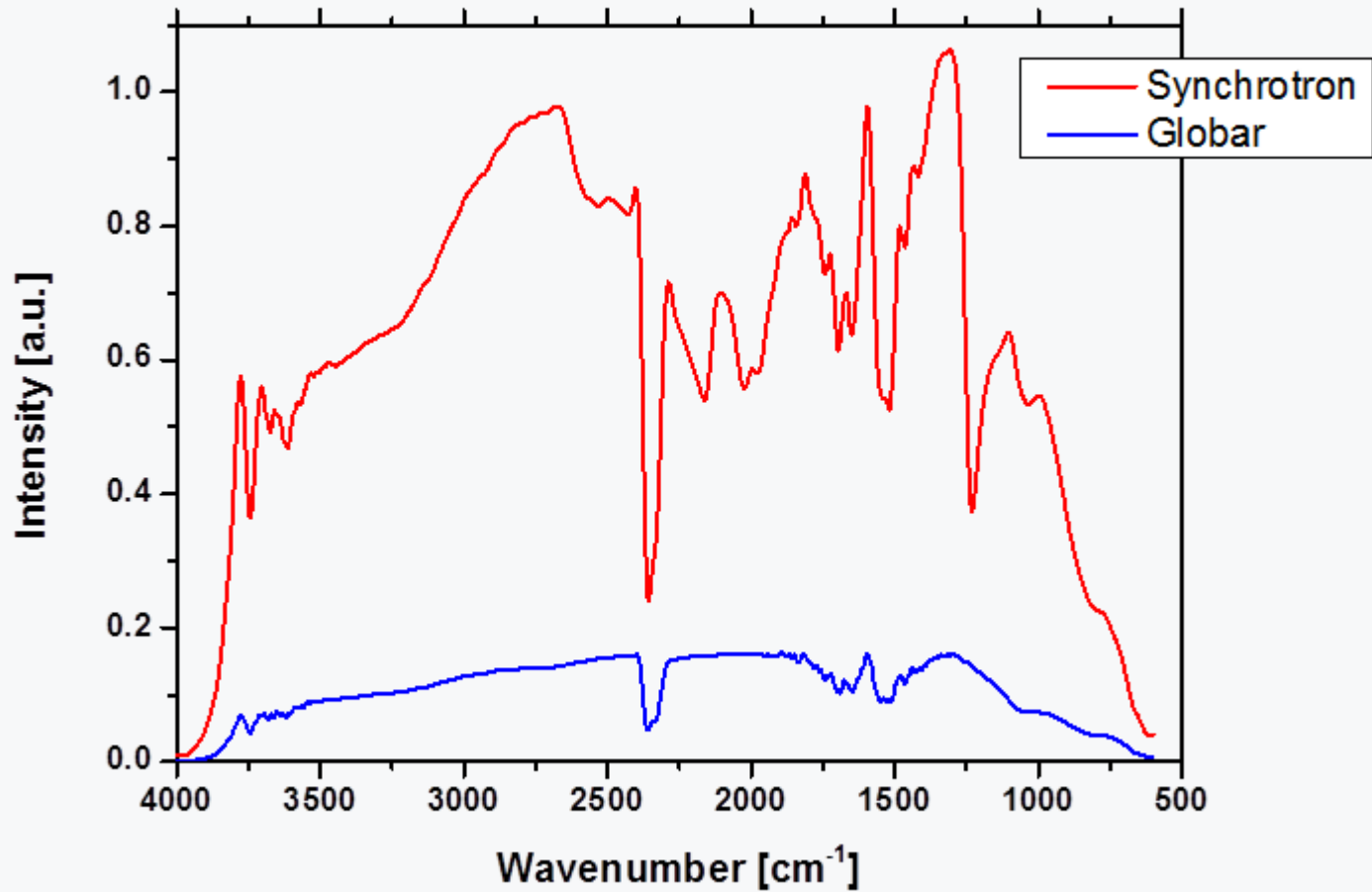
Antisymmetric stretching



Scissoring



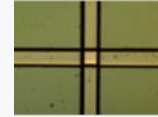
Spectra with 10 x 10  $\mu\text{m}^2$  Aperture



# Globar vs Synchrotron light source



10 x 10  $\mu\text{m}^2$  Aperture:

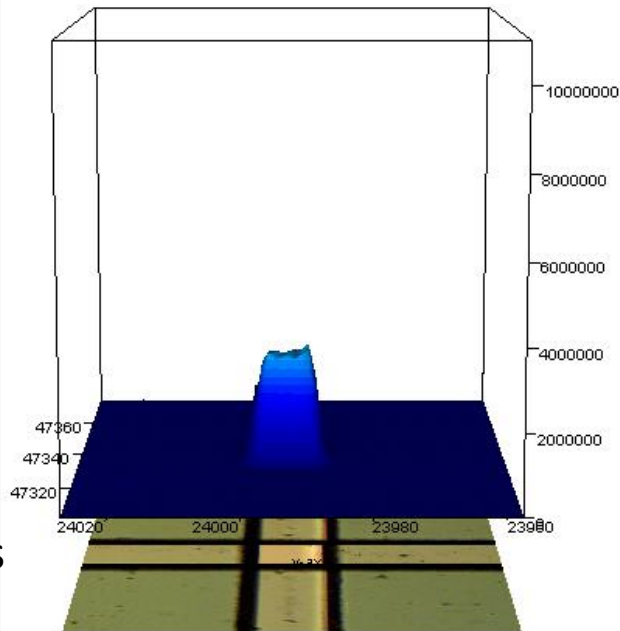


GLOBAR

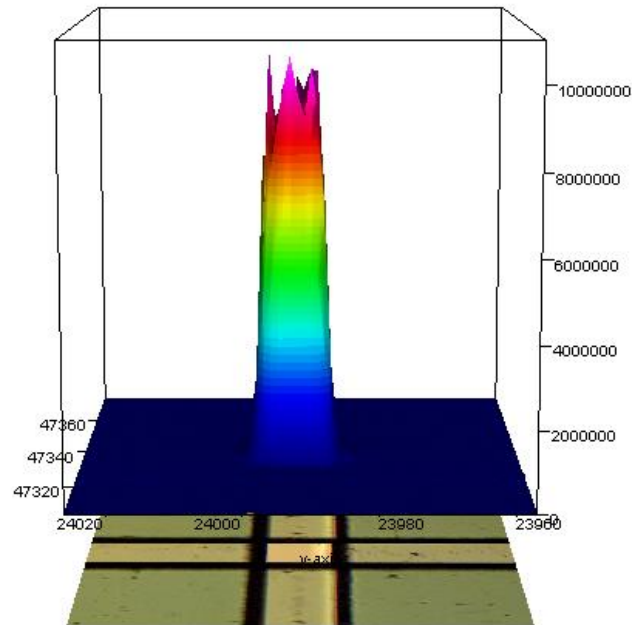
Synchrotron

Transmitted photons [a.u.]

x-axis  
[ $\mu\text{m}$ ]

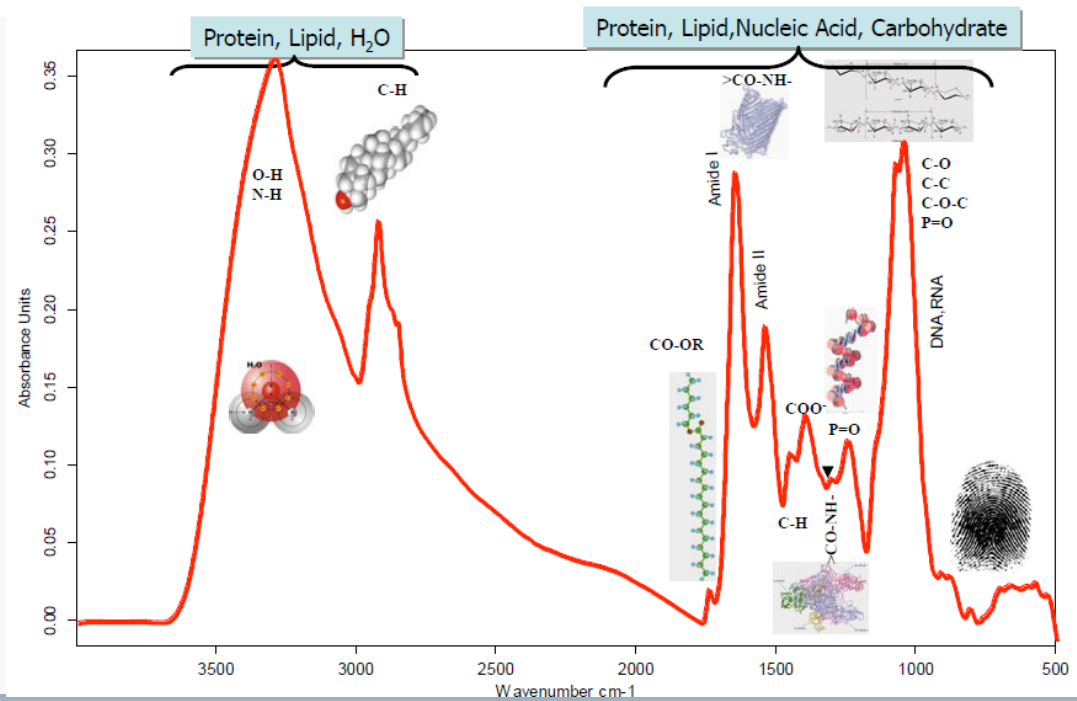
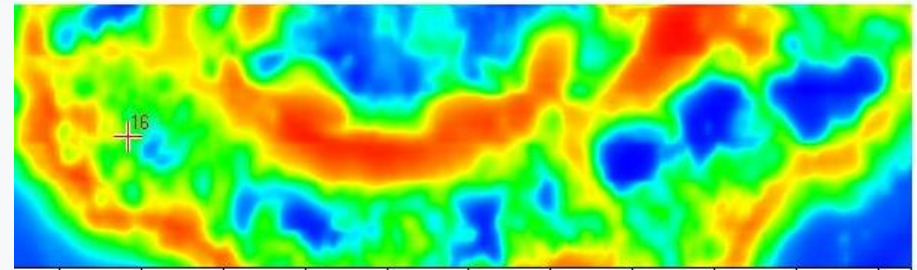


y-axis [ $\mu\text{m}$ ]

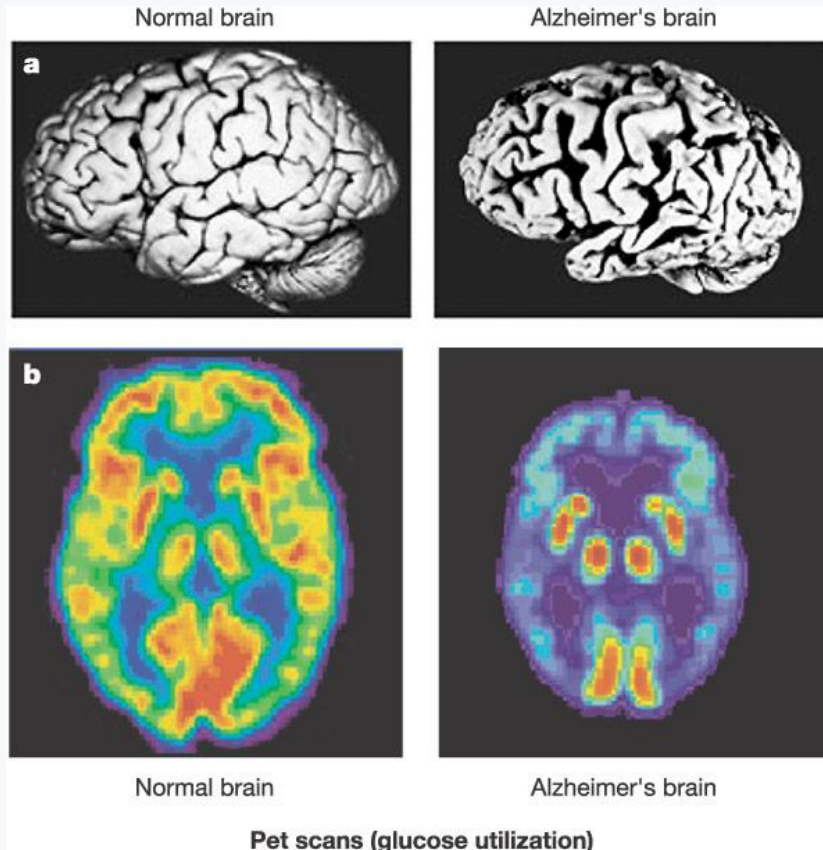


x-axis  
[ $\mu\text{m}$ ]

y-axis [ $\mu\text{m}$ ]



# Alzheimer Disease



## **Cortex shrivels up:**

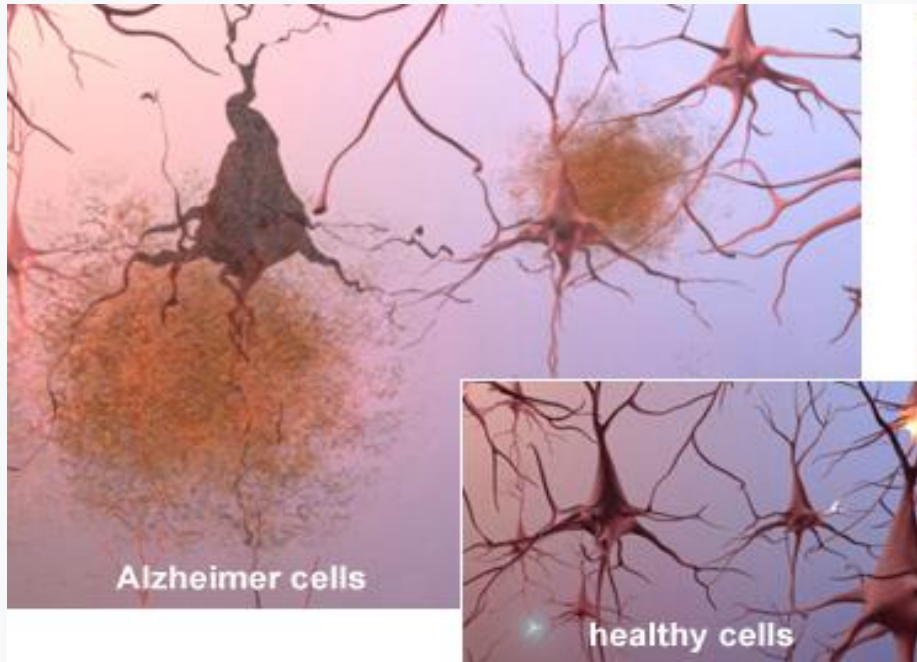
Damaging areas involved in thinking, planning and remembering.

## **Severe Hippocampus shrinkage**

Damaging areas play a key role in formation of new memories.

## **Ventricles grow larger**

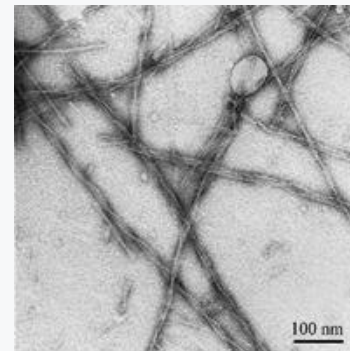
# Amyloid peptides



Presence of amyloid plaques in the affected regions.



**Plaques present in Alzheimer Disease brain**



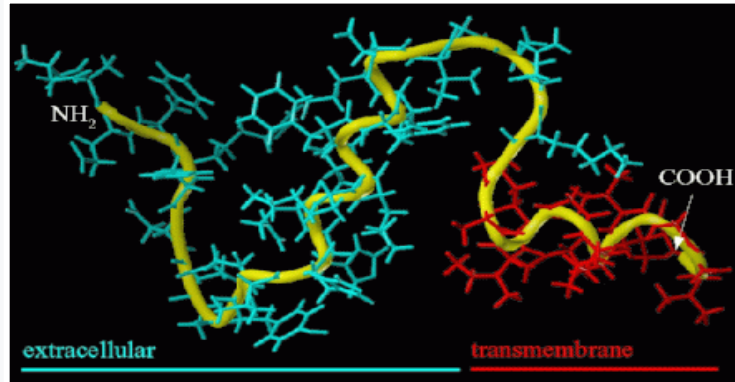
**Fibers**



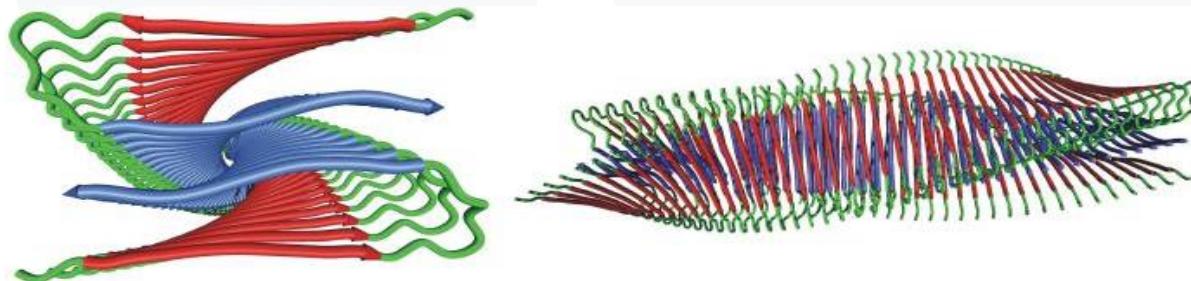
# APP and $A\beta(1-40)$

...EVKM AEFRHDSGYEVHHQKLVFFAEDVGSNKGAIIGLMVGGVVVIVITLVMLKK...

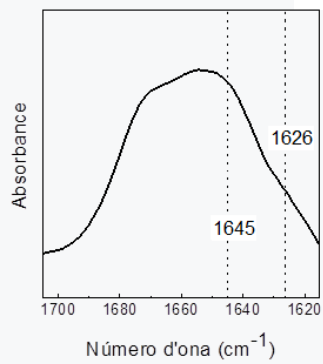
$A\beta(1-40)$



Sticht, H. et al. (1995)  
Structure of amyloid  $A\beta$ -(1-40)-peptide of Alzheimer's disease, *Eur J Biochem.* 233, 293-8.

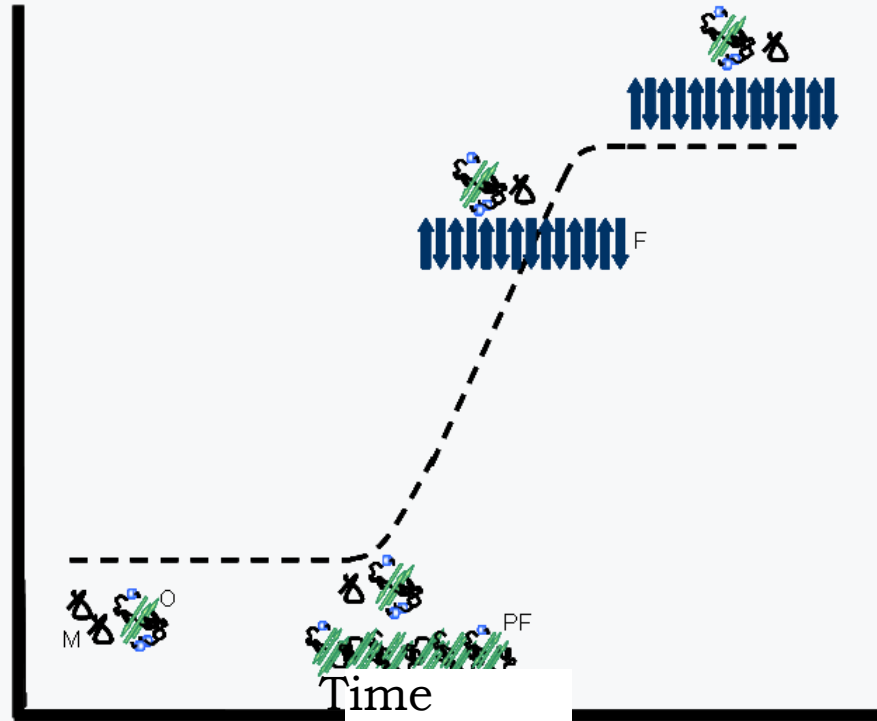


$\beta$  structure

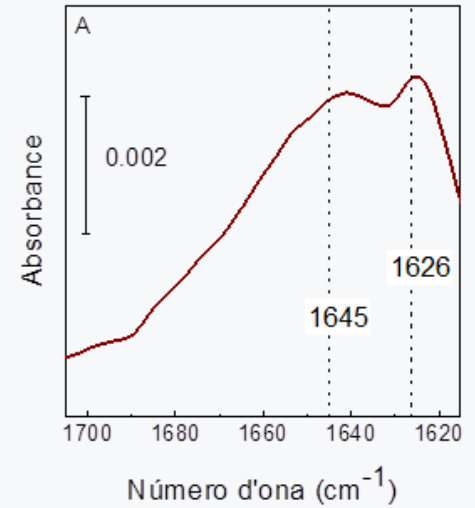


Fibril fraction

F<sub>1</sub>

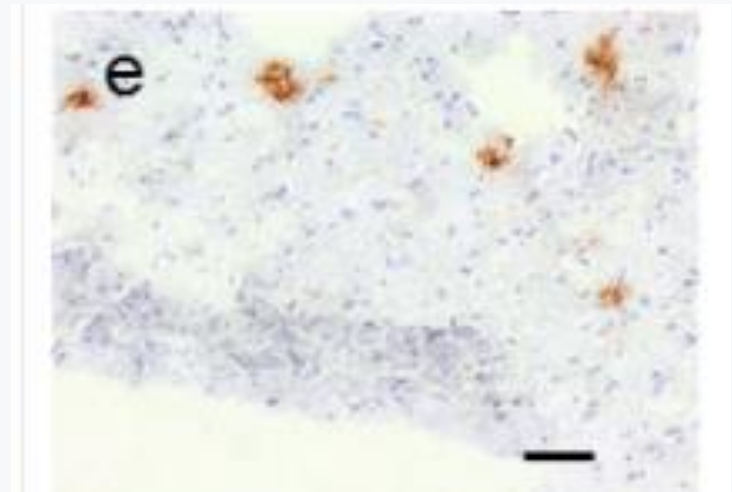
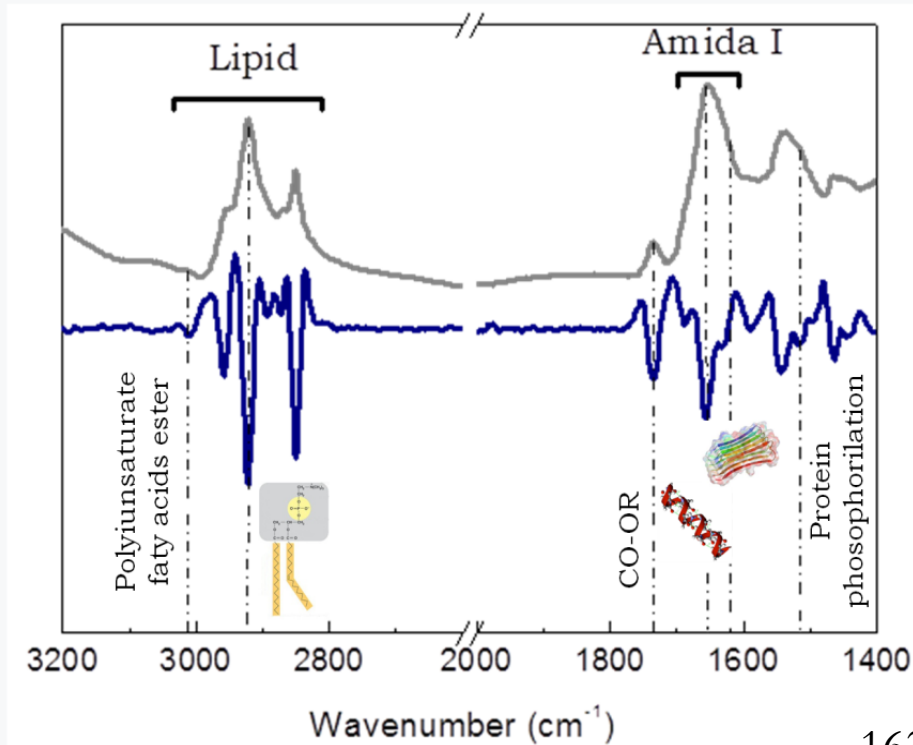


Temps

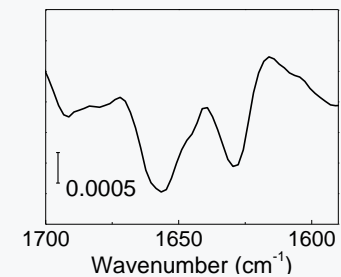
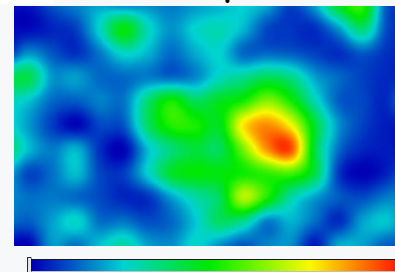


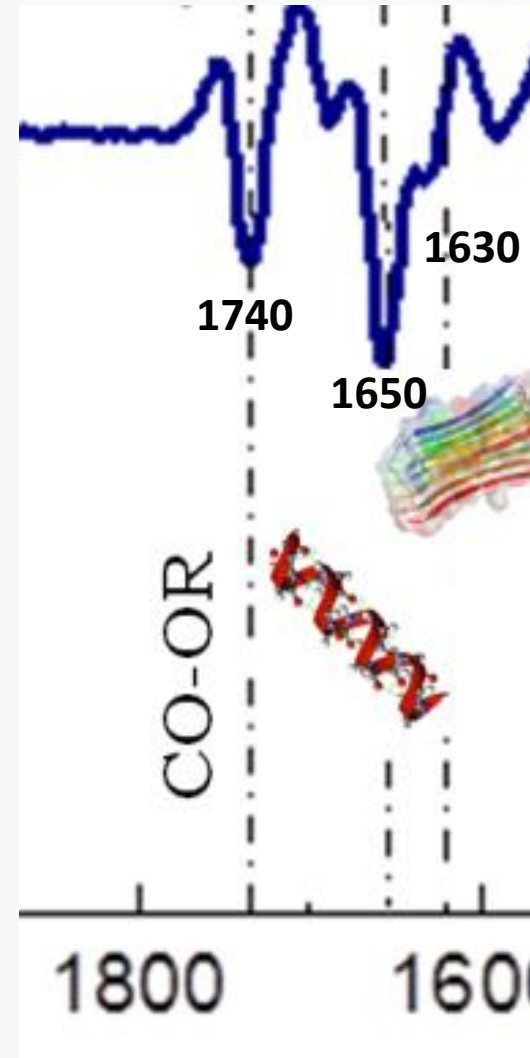
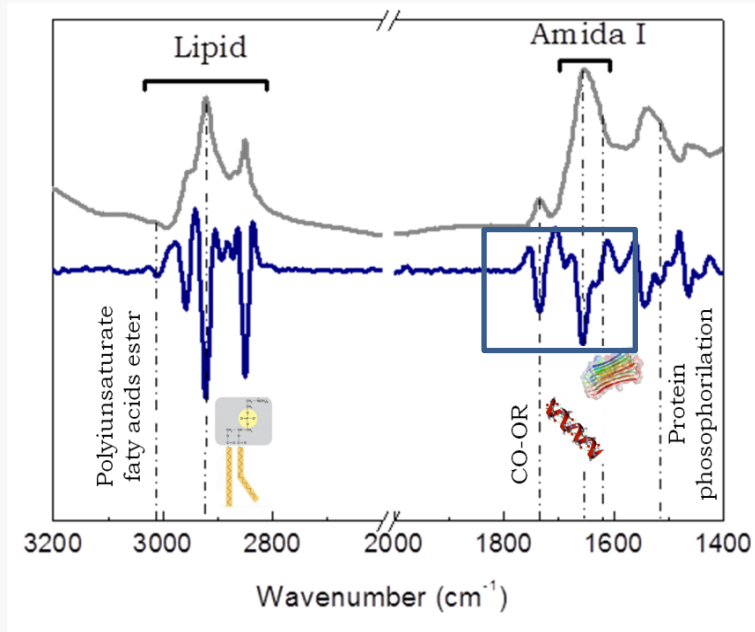
*Benseny-Cases N, Cócera M, Cladera J.*  
*Biochem Biophys Res Commun.* 2007 Oct 5;361(4):916-21.

# Amyloid plaques in situ



1630/1650:  $\beta$  structure/ $\alpha$  helices

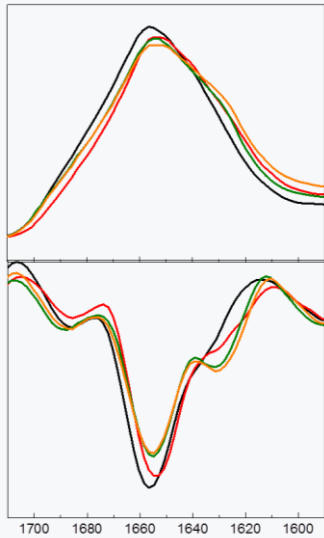




Protein Aggregation Ratio: 1630/1650

Lipid Oxidation Ratio: 1740/total lipid

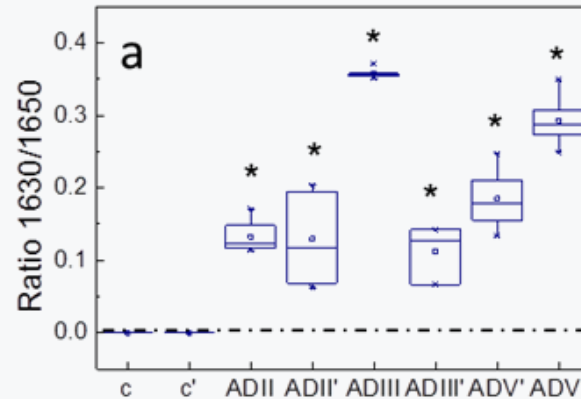
# Oxidation co-localizes with plaques



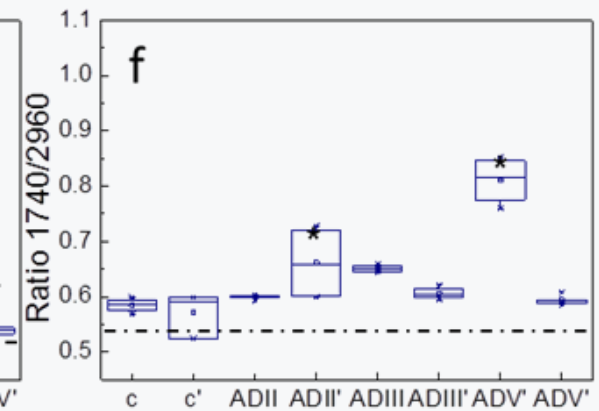
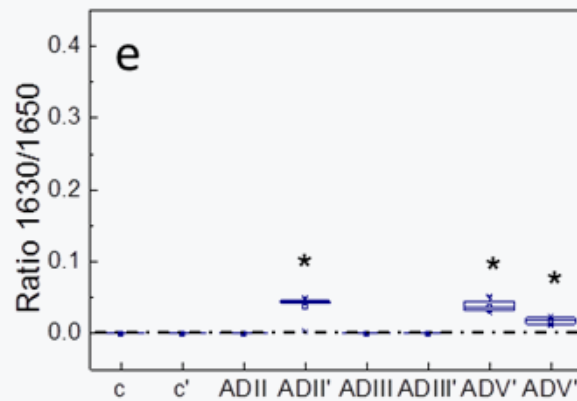
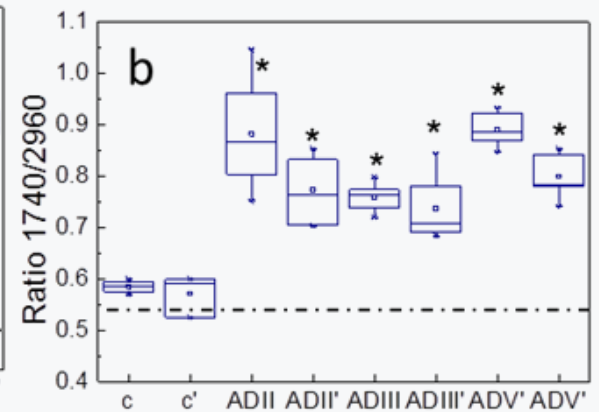
Plaques

Tissue outside the plaques

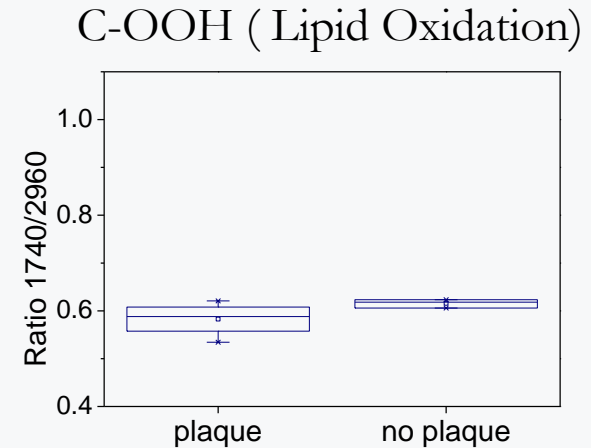
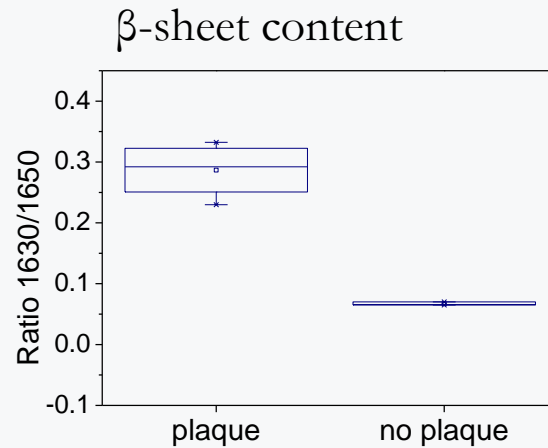
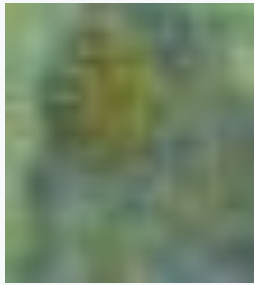
$\beta$ -sheet content



C-OOH (Lipid Oxidation)



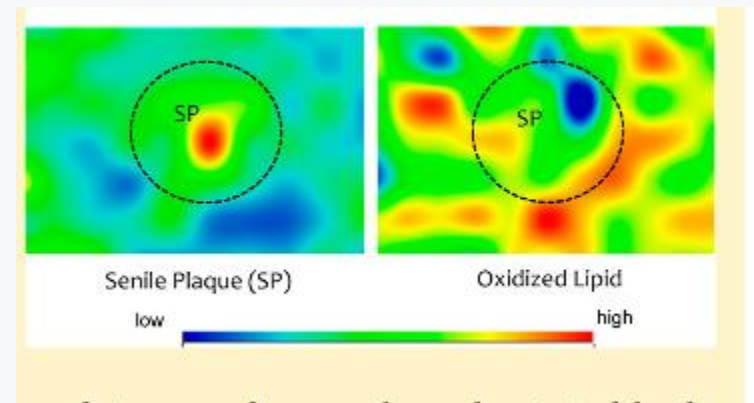
# Brain with Plaques but without Alzheimer Disease symptoms



No co-localization of oxidation and plaques

# Main Conclusions

- Lipids in the plaques and surroundings are oxidized.



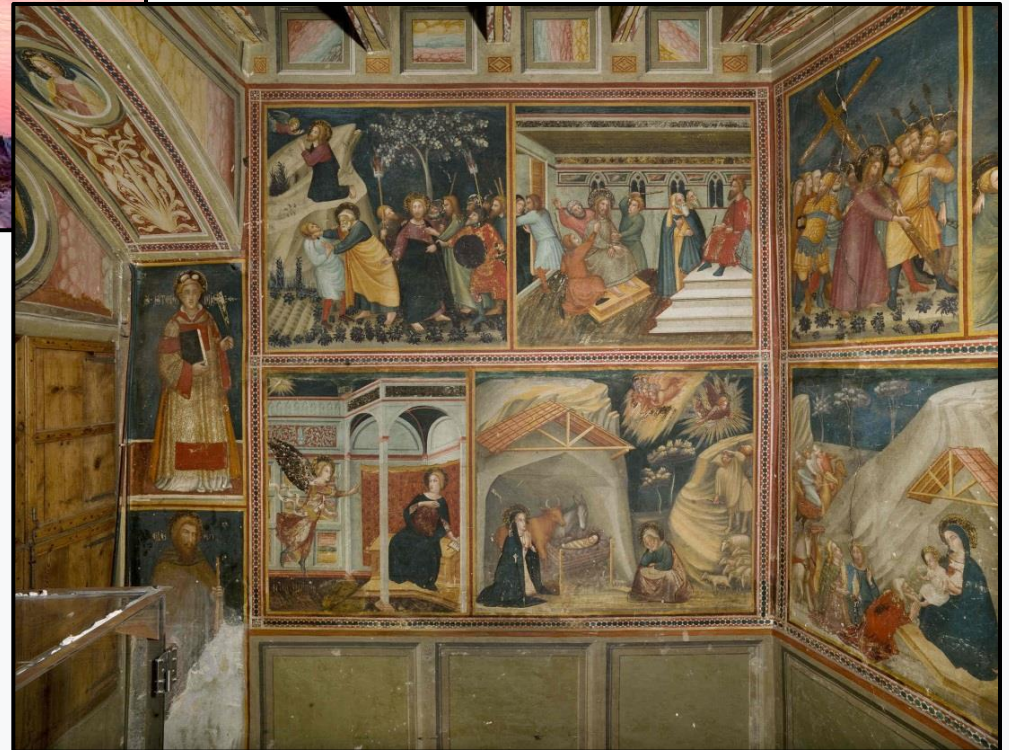
- Control brains, with plaques but without symptoms of Alzheimer, show no oxidation.

# Example: cultural heritage – paintings



*Sitges in the Barcelona area*

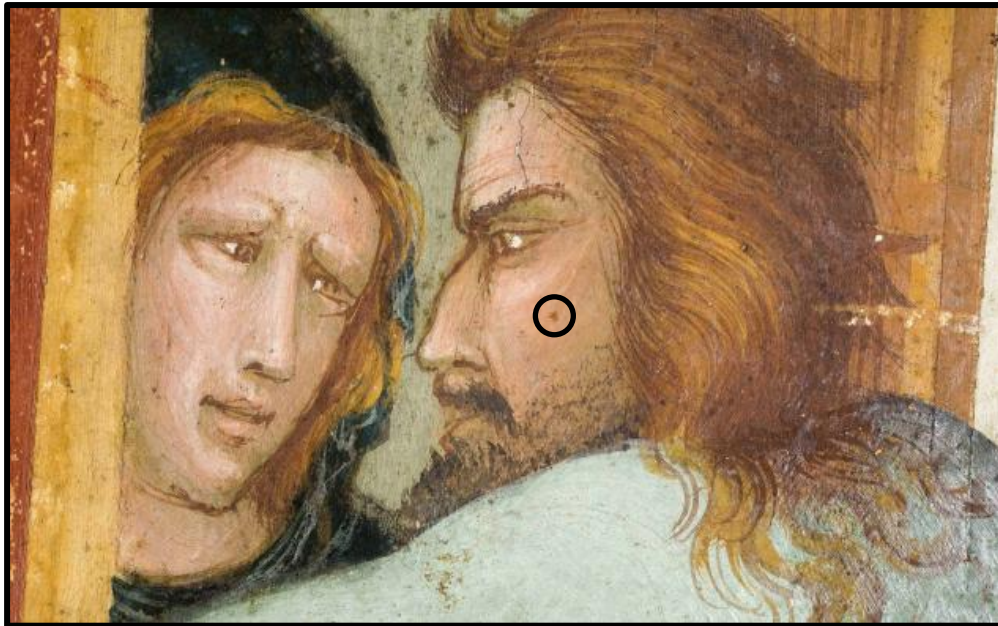
*Photo by Rich2012*



*Painting by Ferrer Bassa (1346)  
Saint Michael's Chapel in Barcelona*



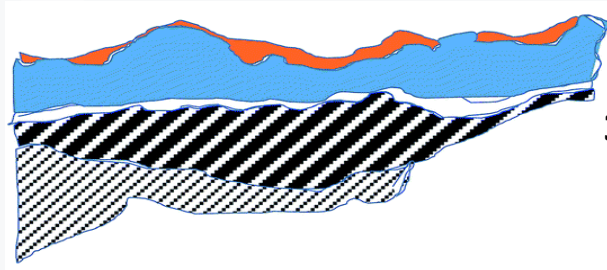
# Example: cultural heritage – paintings



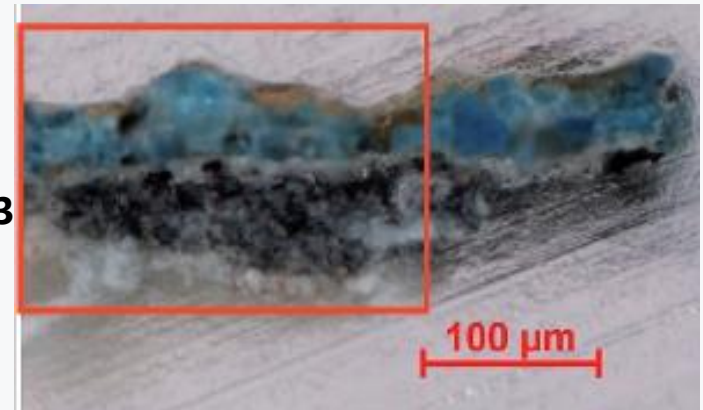
***How to refurbish/restore the paintings?  
What are the origins of the dark spots?***

*Painting by Ferrer Bassa (1346)  
Saint Michael's Chapel in Barcelona*

## Example: cultural heritage – paintings



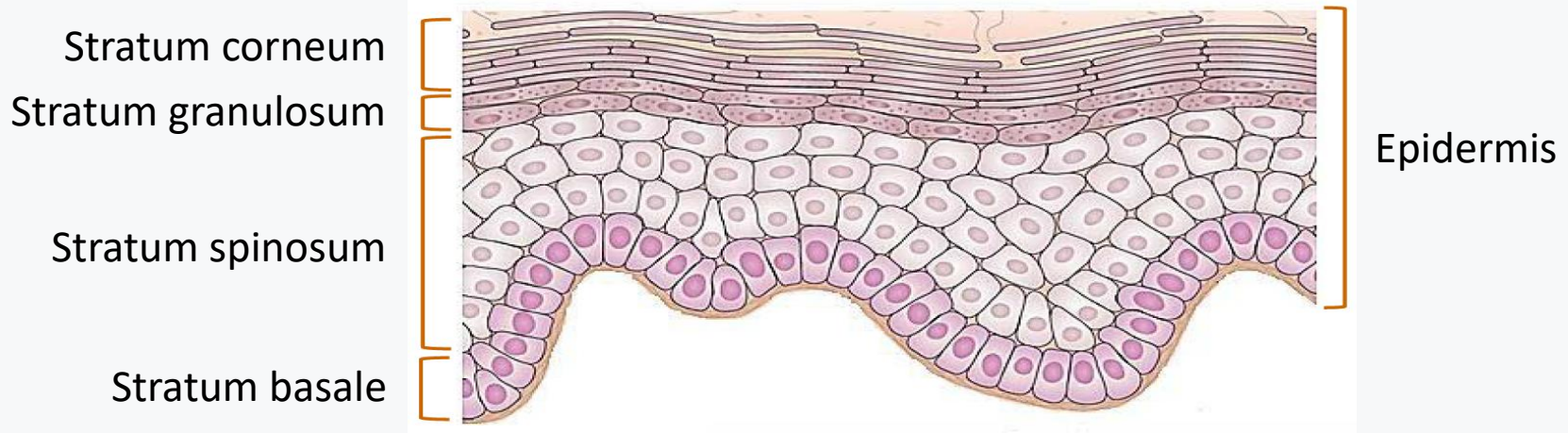
1 fungi layer 1  
2 blue azurite 2  
3 calcium carbonate 3  
4 substrate 4



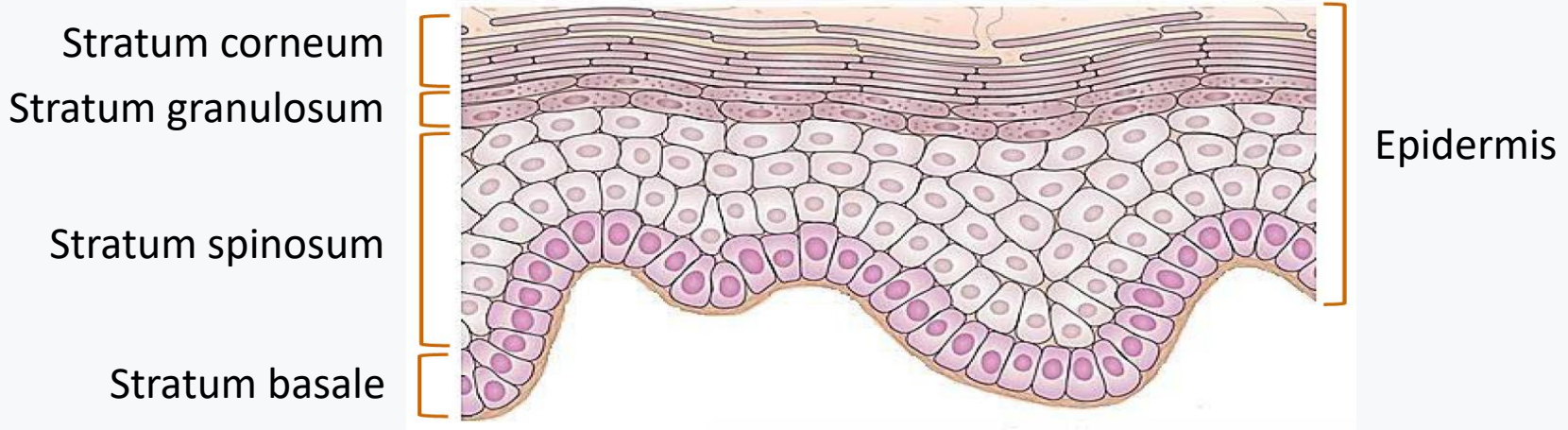
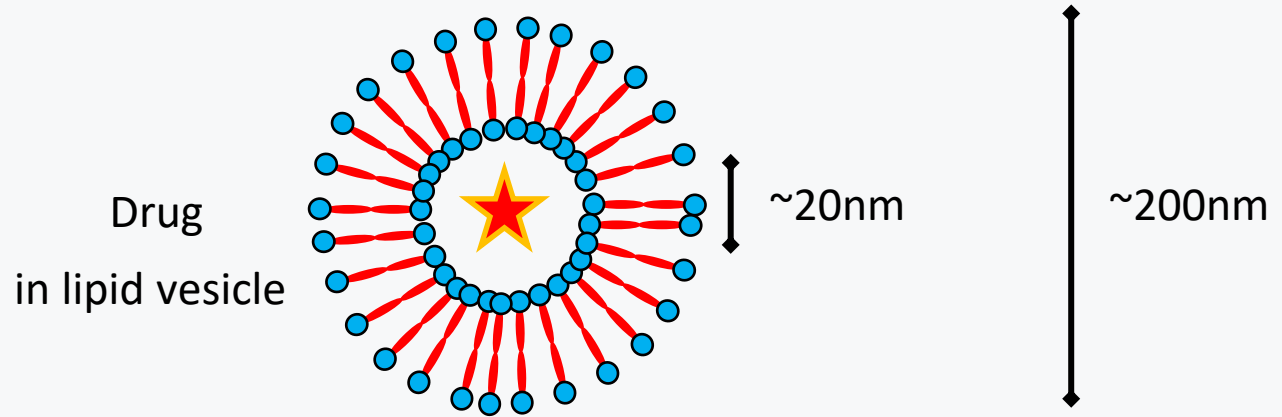
- The salts are directly related to the reaction compounds secreted by fungi.
- Black marks result from fungi attacks.
- The dark colour observed is due to the presence of melanin secreted by the fungi.
- Melanin is water-soluble, and therefore, can be easily removed.
- This treatment has been successfully applied in the restoration wall paintings.

# Example: Drug Delivery in Dermatology

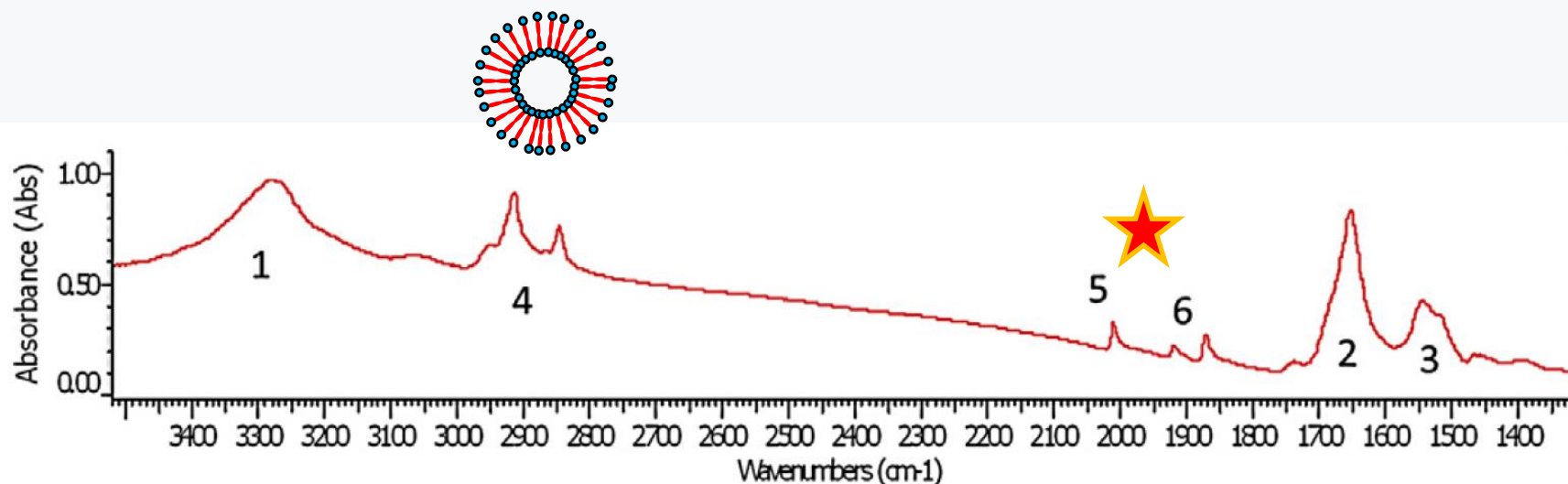
Drug   ~20nm



Cross section of the outer layers of the skin.

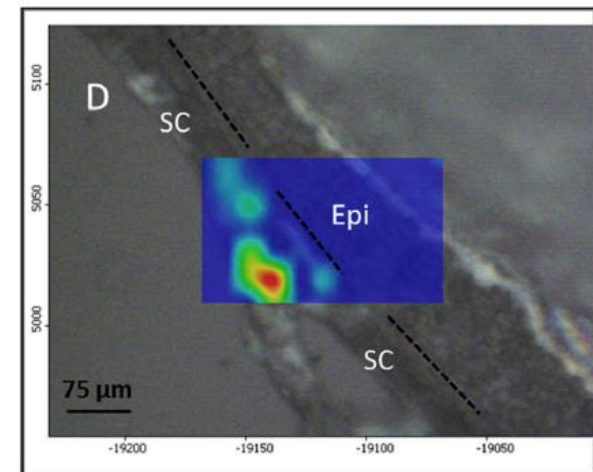
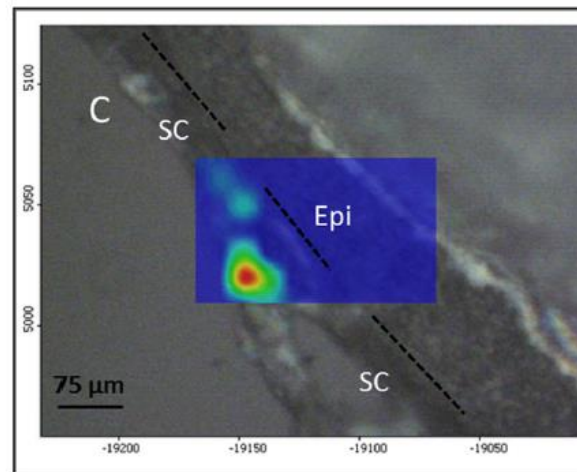
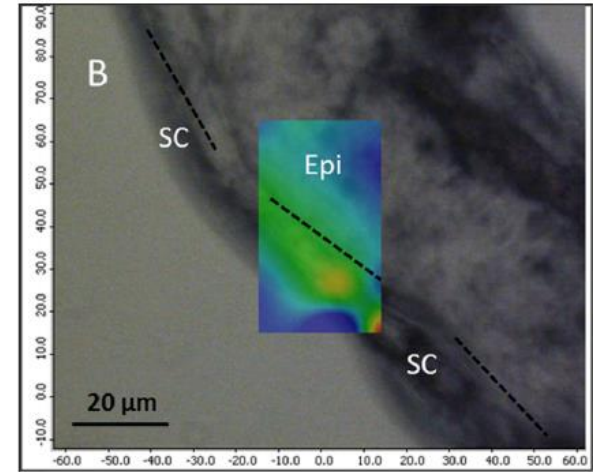
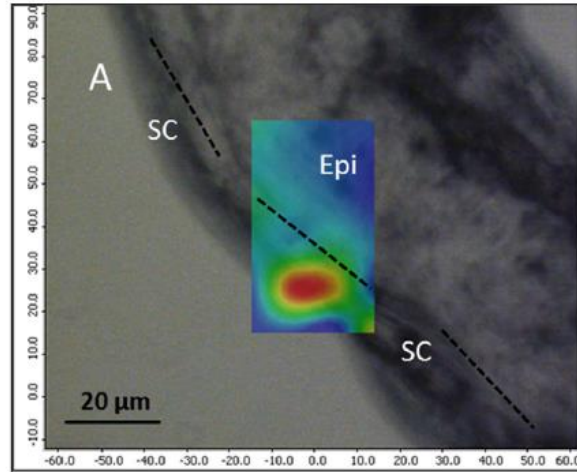
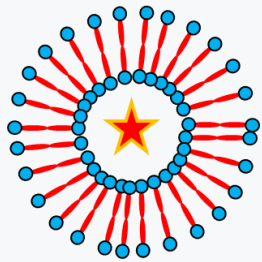


Cross section of the outer layers of the skin.



**Fig. 3.** IR spectra of skin sample treated with bicosomes incorporating  $C_{12}Re(CO)_3$  at 1% for 24 h and at room temperature. (1) NH vibration of polypeptides and proteins of the skin, (2) CO vibration of proteins, (3) CN vibration of proteins, (4)  $CH_3$  and  $CH_2$  stretching vibration of skin and bicosome lipids and (5, 6) symmetric and asymmetric stretching vibrations of  $C_{12}Re(CO)_3$  ( $A_1$  and E respectively).

# Example: Drug Delivery in Dermatology



# MISTRAL:Soft Xray Transmission Microscopy



## BEAMLINE SCIENTISTS

**Eva Pereiro**

Scientist Responsible

*Tel.: (+34) 93 592 4376*

*[E-mail](#)*

**Ana J. Pérez**

Beamline Scientist

*Tel.: (+34) 93 592 4371*

*[E-mail](#)*

**Andrea Sorrentino**

Beamline Scientist

*Tel.: (+34) 93 592 4459*

*[E-mail](#)*

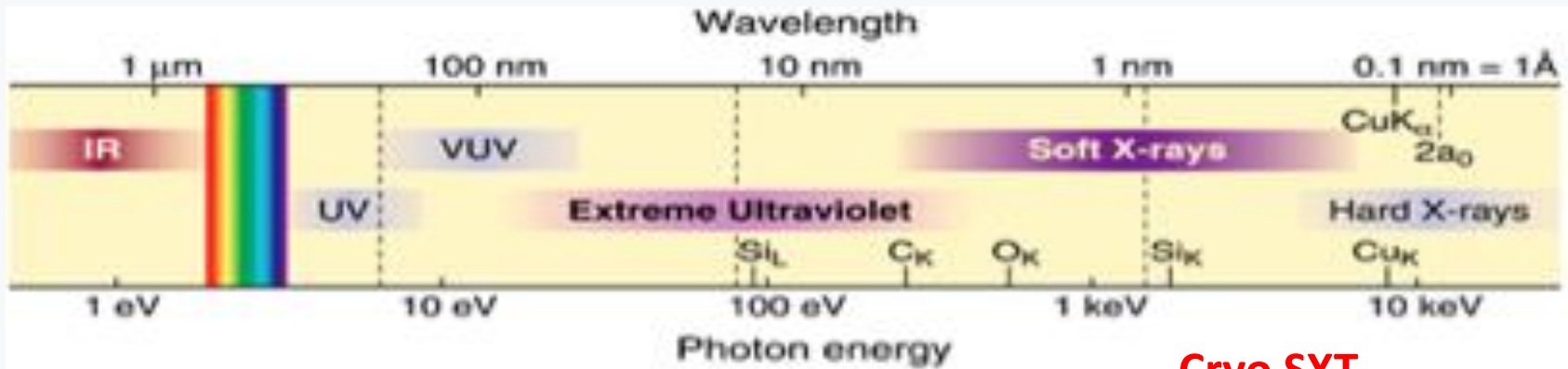
**Javier Conesa**

Post-Doctoral Research Associate

*Tel.: (+34) 93 592 4074*

*[E-mail](#)*

# Soft Xray Transmission Microscopy

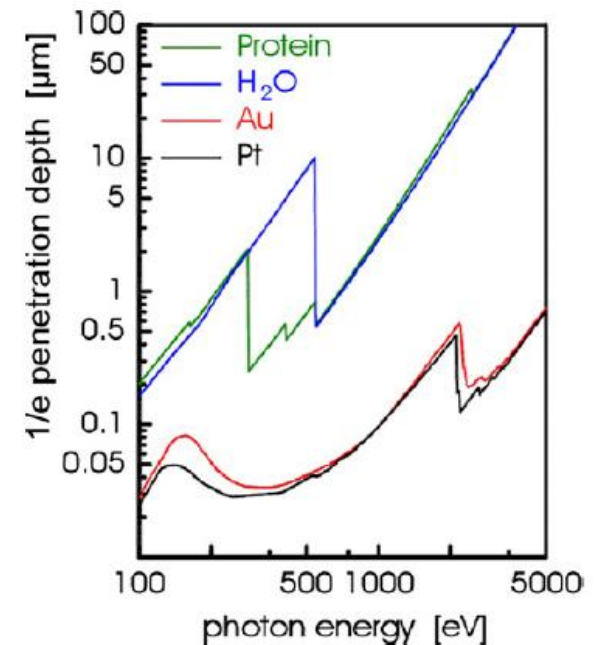


## Cryo SXT

Tomography of vitrified samples

Working at water window 520eV:  
natural contrast

Ø cryo system (sample < 130K -148C) –  
Frozen Hydrated state





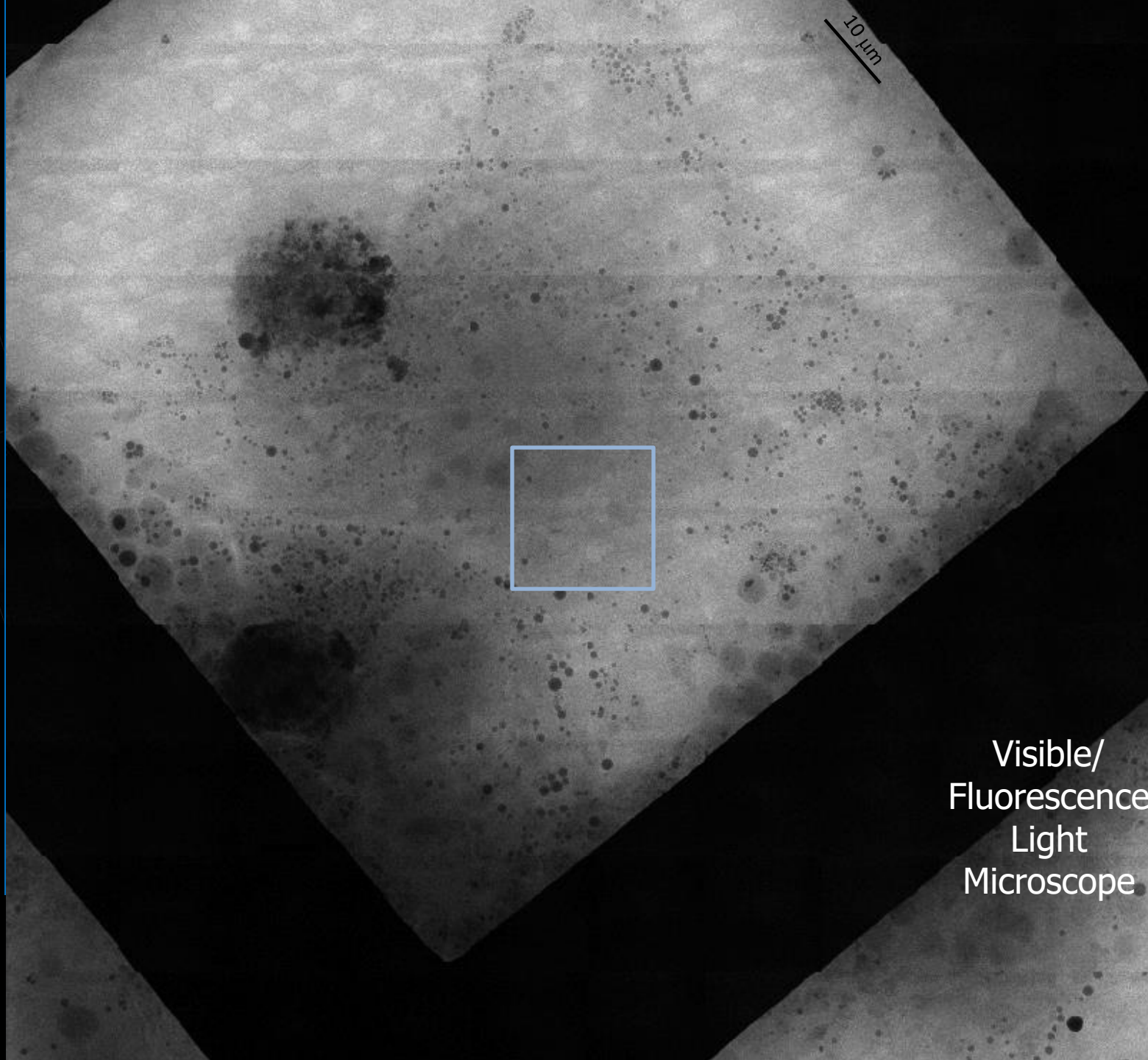
Select the cell

Transmission  
X-Ray  
Microscope

Select the  
region of  
interest

Tomogram  
-70, +70

Reconstruction



Visible/  
Fluorescence  
Light  
Microscope

# Hepatocyte control cells

- Mitochondria
- Endoplasmic Reticulum
- Cytoskeleton
- Nucleus
- Nuclear Envelope
- Mitochondrial Cristae



A whole cell

Natural  
contrast

Without any  
addition of  
chemical  
compounds for  
fixation or  
staining

Without  
artifacts

Accumulation of vesicles

Membranous web

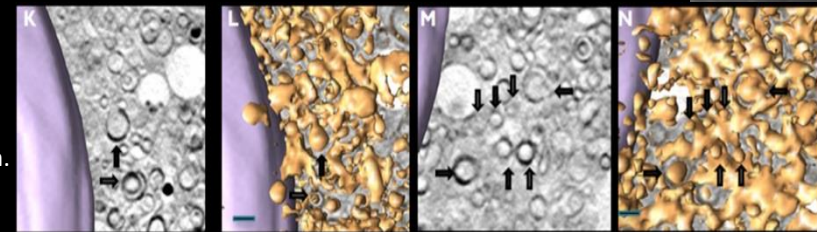
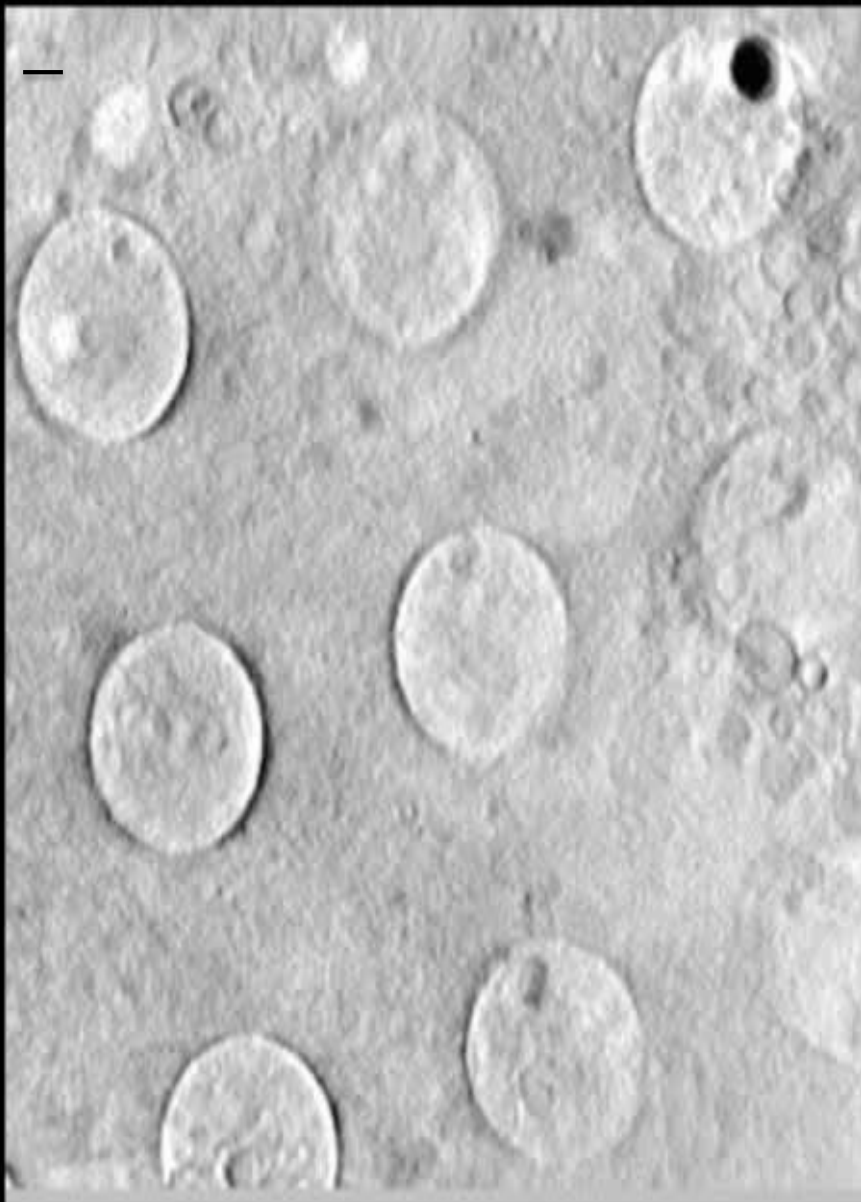
Membranous vesicles

Membranous vesicles are tubes in  
different orientation  
3D map

Neck-like structures connecting  
endoplasmic reticulum extrusions to the  
tubular network

Close Compartments  
for RNA replication

**Functional RNA replicase complexes**



# CLAES: X-ray absorption spectroscopy

## BEAMLINE SCIENTISTS

### **Laura Simonelli**

Beamline Responsible

Tel.: (+34) 93 592 4374

[E-mail](#)

### **Carlo Marini**

Beamline Scientist

Tel.: (+34) 93 592 4427

[E-mail](#)

### **Dominique Heinis**

CLEAR developer scientist

Tel.: (+34) 93 592 4052

[E-mail](#)

### **Nitya Ramanan**

Post-Doctoral Research Associate

Tel.: (+34) 93 592 4507

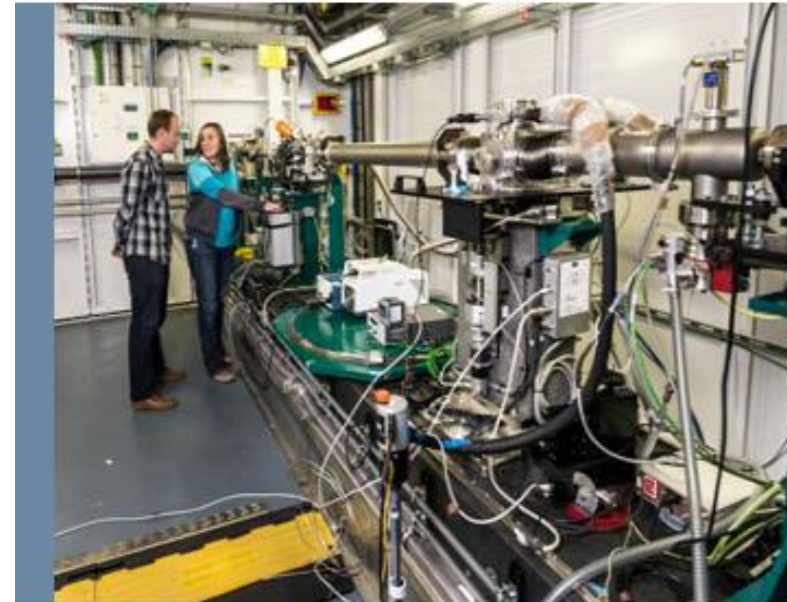
[E-mail](#)

### **Wojciech Olszewski**

Post-Doctoral Research Associate

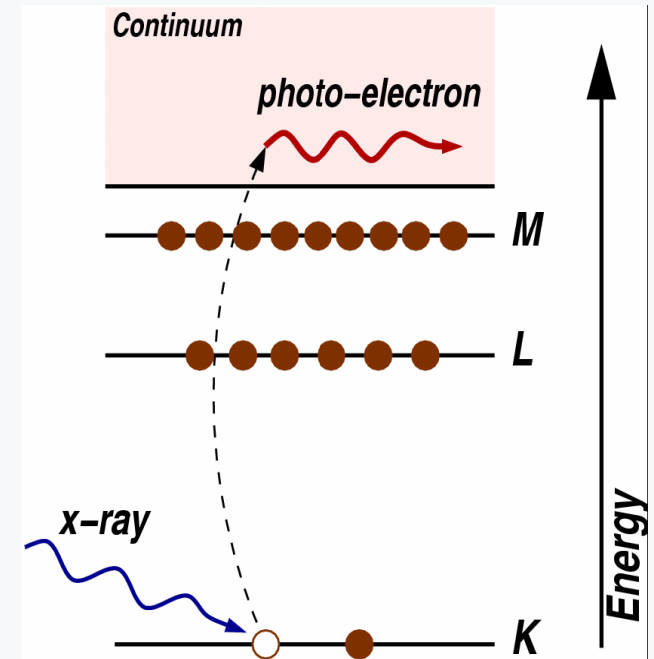
Tel.: (+34) 93 592 4059

[E-mail](#)



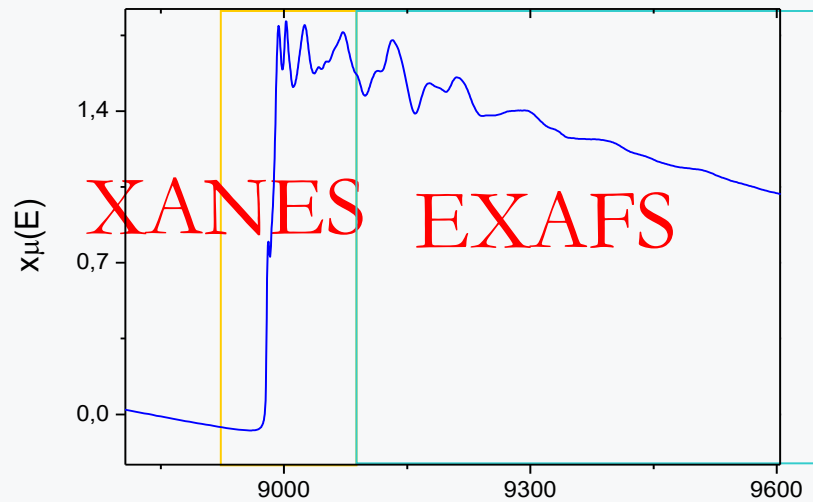
# X-ray absorption spectroscopy

- When an x-ray is absorbed by an atom, its energy is transferred to a core-level electron ( $K$ ,  $L$ , or  $M$  shell) resulting in its ejection from the atom.
- The atom is left in an *excited state* with an empty electronic level (a *core-hole*).
- Any excess energy from the x-ray is given to the ejected *photoelectron*.



## XAS is an element selective technique

S K-edge ~2400 eV	Cu K-edge ~9000 eV	Ag K-edge ~25500 eV
S L-edges ~160-230 eV	Cu L-edges ~930 eV	Ag L-edges ~3500 eV



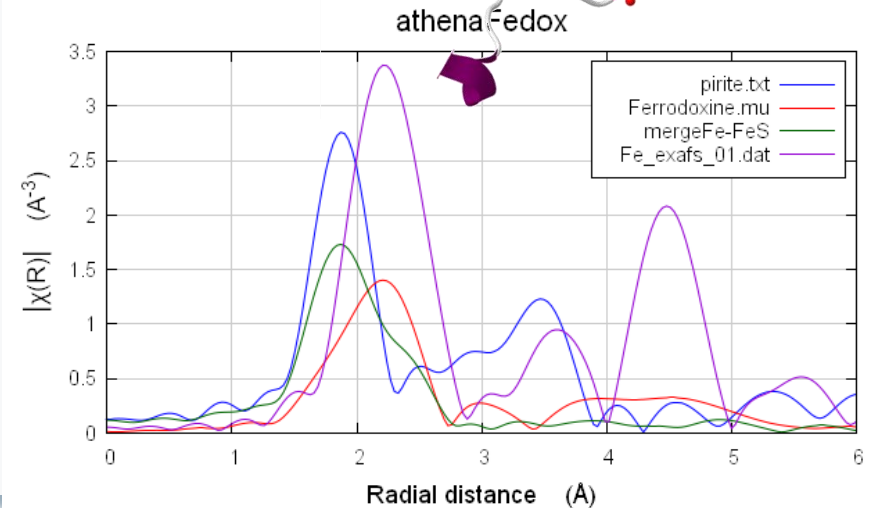
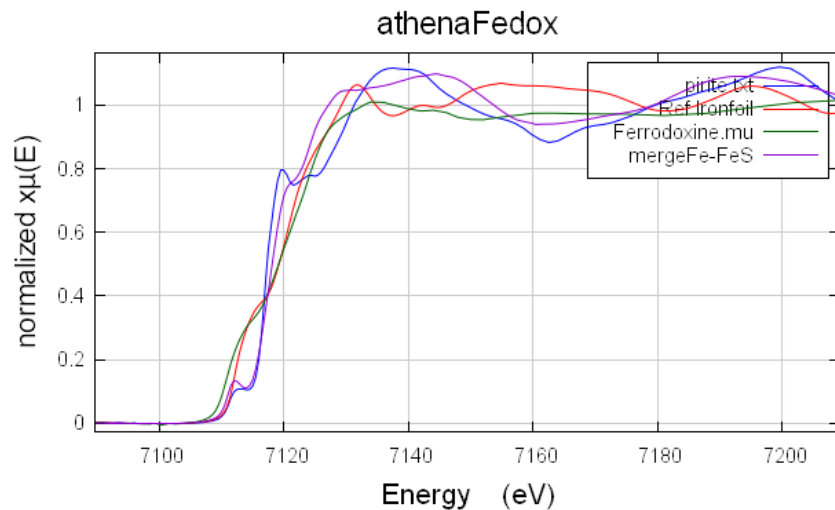
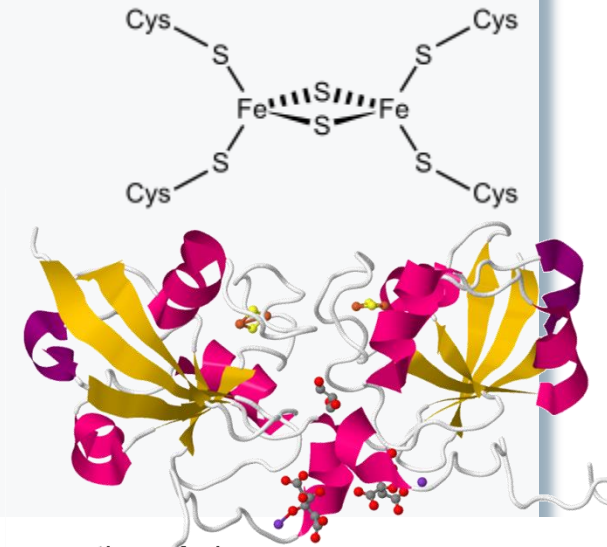
Cu K edge (8979 eV)

The ejected photoelectron is backscattered by the neighboring atoms.

- local structure
- frequencies  $\sim$  bond distances

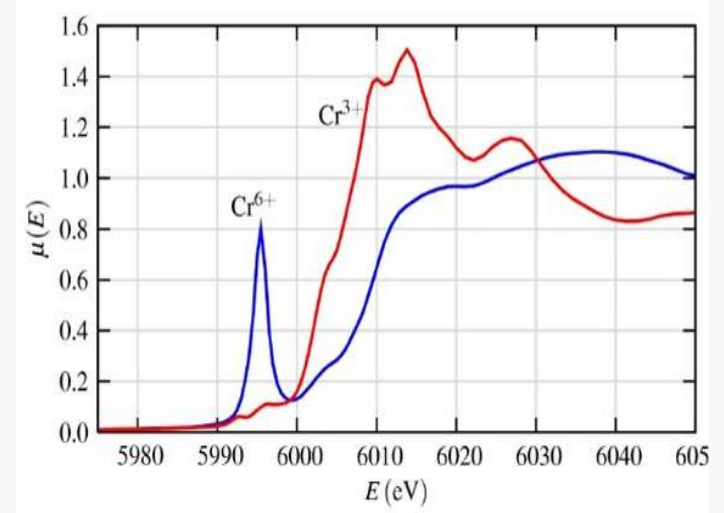
# An example studied in Claess: the spinach ferredoxine

**Ferredoxins** are [iron-sulfur proteins](#) that mediate [electron transfer](#) in a range of metabolic reactions. Ferredoxin is involved in both cyclic and non-cyclic [photophosphorylation](#) reactions of [photosynthesis](#). In non-cyclic photophosphorylation, ferredoxin is the last electron acceptor thus reducing the enzyme NADP<sup>+</sup> reductase. These biological "[capacitors](#)" can accept or discharge electrons, with the effect of a change in the oxidation state of the iron atoms between +2 and +3.



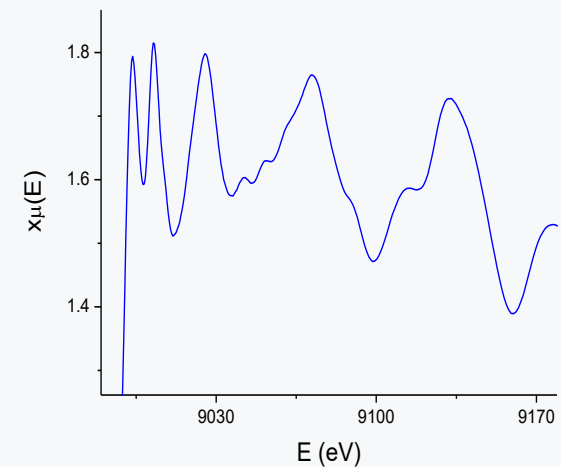
# XANES

- Oxidation state
- Unoccupied electronic states
  - Spin state
  - Local structure
- direct information about bond angles.



# EXAFS

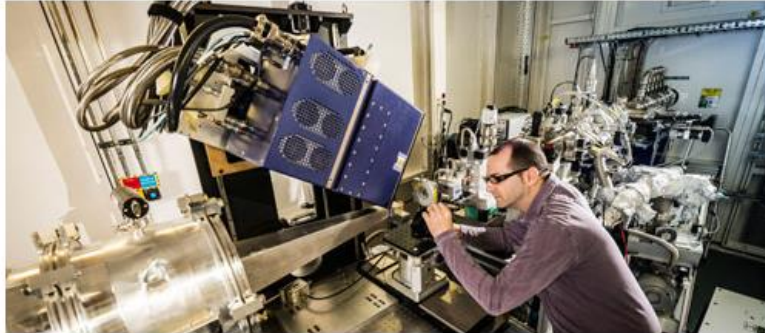
- Bond distances
- Coordination number
- Static and dynamic disorder





# NCD: Non crystalline diffraction

## Xaloc: Crystalline Diffraction



### NCD

#### BEAMLINE SCIENTISTS

**Marc Malfois**

Beamline Responsible

Contact for: Solution scattering, biology, general beamline enquiries.

Tel.: (+34) 93 592 4324

[E-mail](#)

**Christina Kamma-Lorger**

Beamline Scientist

Contact for: Fibre diffraction, biology, general beamline enquiries.

Tel.: (+34) 93 592 4367

[E-mail](#)

**Juan Carlos Martínez**

Beamline scientist

Contact for: General beamline enquiries.

Tel.: (+34) 93 592 4347

[E-mail](#)

**Eduardo Solano**

Post-Doctoral Research Associate

Contact for: Nanomaterials, thin films, GISAXS.

Tel.: (+34) 93 592 4430

[E-mail](#)

### Xaloc

#### BEAMLINE SCIENTISTS

**Roeland Boer**

XALOC Beamline Responsible

Tel.: (+34) 93 592 4333

[E-mail](#)

**Fernando Gil**

Beamline Scientist

Tel.: (+34) 93 592 4425

[E-mail](#)

**Xavi Carpena**

Beamline Scientist

Tel.: (+34) 93 592 4531

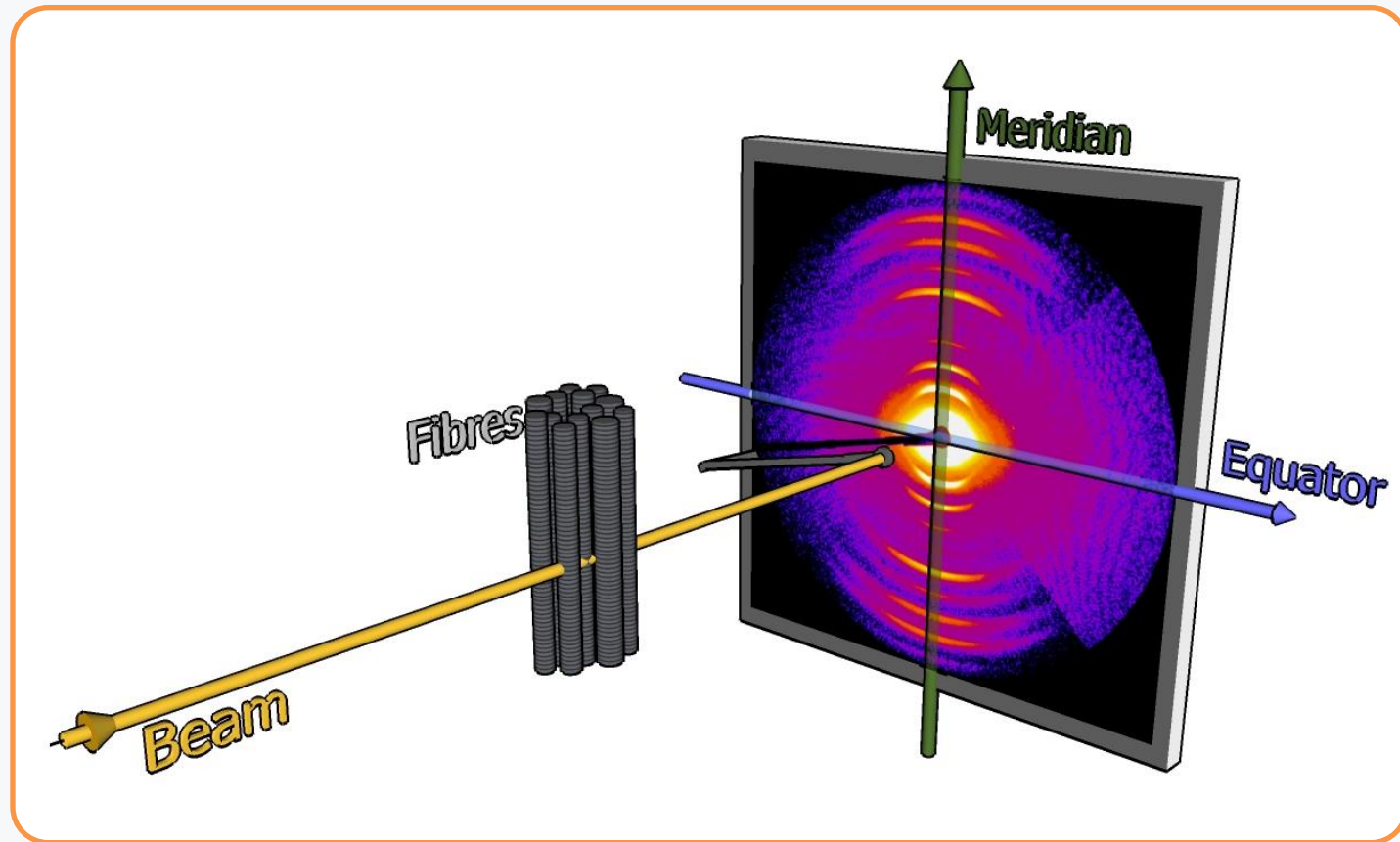
[E-mail](#)

**Bárbara Calisto**

Post-Doctoral Research Associate

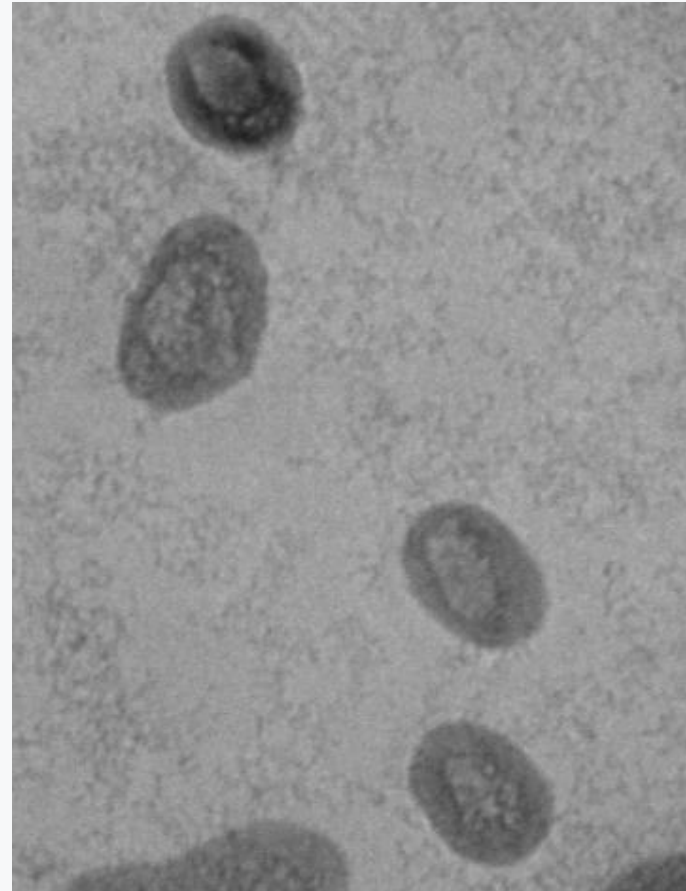
Tel.: (+34) 93 592 4055

[E-mail](#)

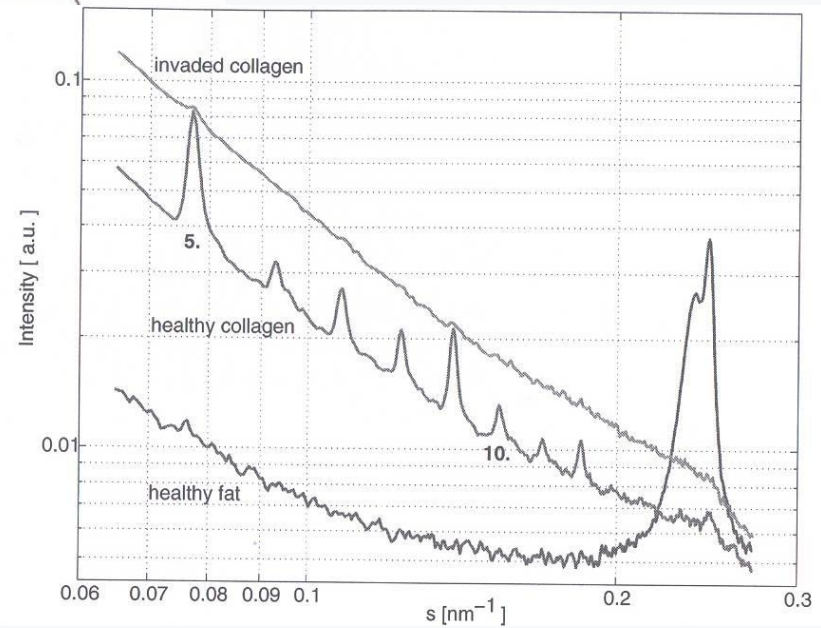
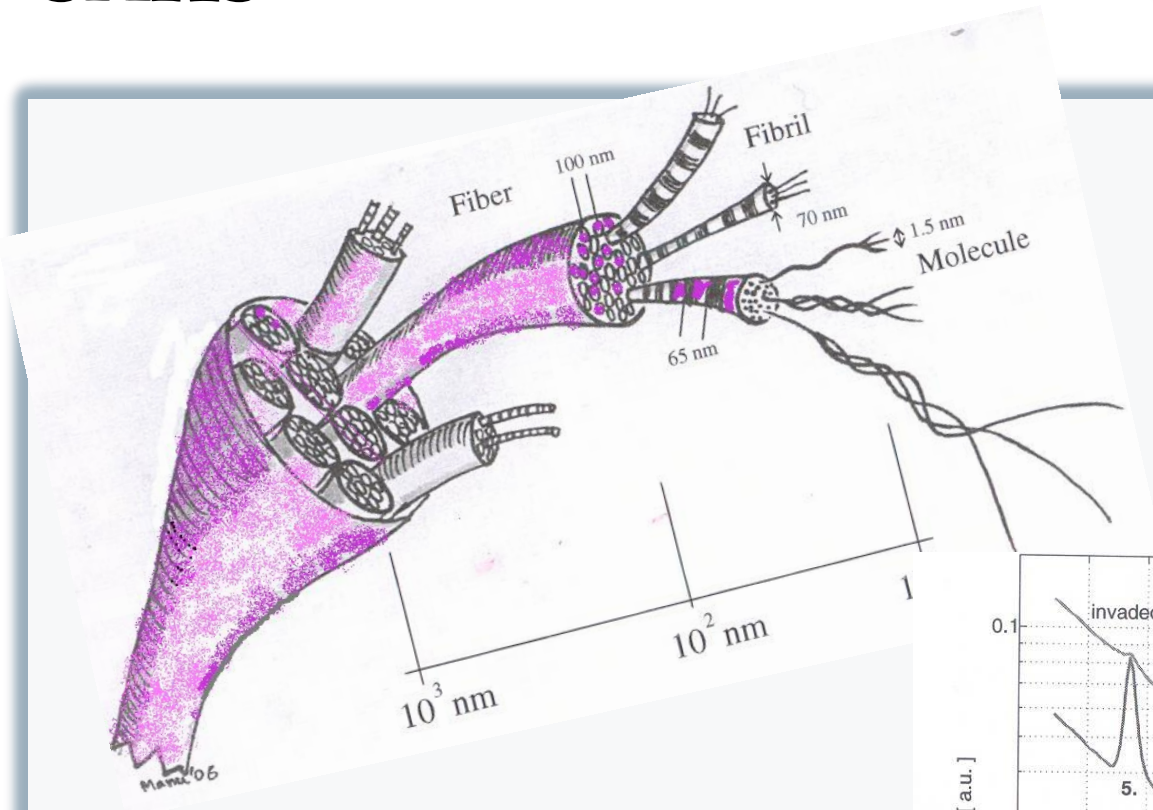


# Liposomes

Multilamellar  
Unilamellars



# SAXS Material no cristal·lí



Manuel Fernandez



CALL INFORMATION  
SAFETY REQUIREMENTS  
USER FUNDING  
APPLYING FOR BEAM TIME  
PREPARING YOUR EXPERIMENT  
PRACTICAL INFORMATION  
AFTER YOUR EXPERIMENT  
USER ASSOCIATIONS  
CONTACT



## 2 CONVOCATÒRIES

- Febrer
- Setembre